

T1273



T.C.  
AKDENİZ ÜNİVERSİTESİ  
TIP FAKÜLTESİ  
ORTOPEDİ VE TRAVMATOLOJİ  
ANABİLİM DALI

T1273/1-1

# **TRANSVERS KARPAL LİGAMENT GEVSETİLMESİNİN MEDİAN SİNİR EKSKURSİYONUNA ETKİSİ**

**UZMANLIK TEZİ**

**Dr.Aydın YILDIRIM**

**Tez Danışmanı : Doç.Dr.Serdar TÜZÜNER**

**"Tezimden Kaynakça Gösterilerek Yararlanılabilir"**

**Antalya, 1999**

**AKDENİZ ÜNİVERSİTESİ  
Merkez Kütüphane**

## İÇİNDEKİLER

Sayfa No :

|                 |         |
|-----------------|---------|
| Önsöz           | 1 - 2   |
| Giriş ve Amaç   | 3 - 5   |
| Genel Bilgiler  | 6 - 16  |
| Gereç ve Yöntem | 17 - 23 |
| Bulgular        | 24 - 29 |
| Tartışma        | 30 - 34 |
| Sonuç           | 35      |
| Özet            | 36      |
| Kaynaklar       | 37 - 40 |

## ÖNSÖZ

Tıbbın çoğu alanlarında olduğu gibi periferik sinir sistemine ait ilk yazılı tanımlamalar, Hipokrat zamanına kadar dayanır. Hipokrat, tendon ve sinir dokuları arasındaki farklılığı tanımlamıştır.

Günümüzde teknolojideki gelişmeler sonucu travma vakalarının artması, periferik sinir yaralanmalarının da sık görülmesine neden olmaktadır. Periferik sinir yaralanmaları anatomik bütünlüğün bozulduğu kesilere ilave olarak; traksiyon, kompresyon, iskemik yaralanmalar ile radyasyon ve teröpatik ajanlar gibi çeşitli nedenlerle de oldukça sık ortaya çıkmaktadır.

Periferik sinirler hareket sisteminin önemli kısımlarından biri olup, lezyonlarında ciddi sakatlıklar oluşmaktadır. Bundan dolayı sinir yaralanmalarının cerrahi tedavisinde, sinir dokusunun mikroanatomisi ve biyomekanik özelliklerine dikkat etmeden yapılan tedavilerden yararlı sonuçlar beklemek anlamsızdır. Periferik sinir lezyonlarının değerlendirilmesinde, sinirlerin fizyolojik bir özelliği olan longitudinal ekskursiyonun kısıtlanmasıının önemi de nadiren göz önüne alınır.

Sinir yaralanmaları, kompresyon nöropatileri ve adheziv nöritlerin etkin tedavisinde, longitudinal ekskursiyonun restorasyonu önemlidir. Bu bakımdan longitudinal ekskursiyonun normal sınırlarını bilmek gereklidir. Bu çalışmada karpal tünel sendromu olan hastalarda, transvers karpal ligament gevşetilmesinin, Median sinir ekskursiyonuna etkisi araştırılmıştır.

Akdeniz Üniversitesi Tıp Fakültesi Ortopedi ve Travmatoloji Anabilim Dalı'ndaki asistanlığım süresince, yardım ve desteklerini hiçbir zaman esirgemeyen, eğitimimde büyük emekleri olan değerli hocalarım; Prof.Dr.Erdoğan ALTINEL,

Prof.Dr.Ahmet Turan AYDIN, Doç.Dr Ahmet Nedim YANAT, Doç.Dr.Semih GÜR, Doç.Dr.Feyyaz AKYILDIZ, Yard.Doç.Dr.Hakan ÖZDEMİR'e ve tezimin başından sonuna kadar her aşamasında desteğini ve yardımını esirgemeyen Doç.Dr.Serdar TUZUNER'e sonsuz saygı ve teşekkürlerimi sunarım. Ayrıca klinik içi ve dışı hayatımda benden desteklerini esirgemeyen Op.Dr.Mustafa ÜRGÜDEN, Op.Dr.A.Merter ÖZENCİ, Op.Dr.Yetkin SÖYUNCÜ ve tüm asistan arkadaşlarımı minnetim sonsuzdur.

Her zaman yanımda olduğunu bildiğim eşim zorlukları aşmamda en büyük desteği verdi, ona da sonsuz teşekkürler.

**Dr. Aydin YILDIRIM**  
**Antalya, 1999**

## GİRİŞ VE AMAÇ

Periferik sinirler intervertebral foramenden çıktıktan sonra, yolu boyunca birkaç anatomik kompartmandan geçer. Kompartmanın kesit alanının azalması veya kompartman içi volümün artması durumunda, buradaki dokular arasındaki kayma kısıtlanır. Ayrıca, basıncın kritik seviyelerin üzerine çıkması, periferik sinirde doku kan akımının azalmasına ve sonuçta sinirde fonksiyonel bozuklıkların ortayamasına neden olacaktır (1).

Ekstremite hareketleri ile sinirlerin hareket ettiği bilinmektedir (2,3,4,5,6). Bu hareket, sinirin longitudinal ekskursyonu (LE) olarak isimlendirilmiştir. Ekstremite hareketleri sırasında periferik sinirler, sinir yatağı sayesinde kısalıp uzayabilirler. Periferik sinir içindeki fibrillerin pozisyonu spiral biçimde düzenlenmiştir. Sinir yatağının uzaması sinirde ilk olarak düzleşmeye, sonra gerilmeye ve fibrillerdeki kıvrımların açılmasına neden olacaktır. Sinir yatağında lokal değişikliklere izin veren bu adaptif mekanizmalar sayesinde, sinirin dalgalanma yönünün düzenlenmesi ve nöral bağ dokusunun elastisitesi; sinirin çapında değişiklik olmaksızın sinirin longitudinal yönde kaymasını sağlar (2). Bu yolla sinire ulaşan longitudinal kompresyon veya traksiyon kuvvetlerinin miktarı ve dolayısıyla sinirdeki kan dolaşımına olumsuz yönde etki eden güçler azaltılmış olur.

Median sinir el bileği ekleminin rotasyon merkezinin anteriorunda bulunur. El bileği ve parmakların fleksiyonu sinir yatağının kısalmasına neden olur ve sinirin proksimal yönde hareketine yol açar. El bileği ve parmakların ekstansiyonunda ise sinir yatağı uzar, sinir distale hareket eder. Bu distal-proksimal yöndeki hareket miktarı konusunda, birçok araştırmacı tarafından canlılarda (2) ve kadavralar üzerinde

ölçümler yapılmıştır (3,4,5,6). Hareketliliğin skar dokusu, sonradan gelişen yapışıklıklar ya da kompresyon nöropatileri gibi patolojik durumlarda kısıtlanacağı belirtilmiştir (3,4,6)

Periferik sinirde irritasyon yapan herhangi bir faktör kolaylıkla inflamatuar cevap ortaya çıkartır. İnflamatuar cevabin sonucunda; şişlik, ödem ve fibrozis gelişimi ile sinirlerin normal longitudinal LE'u bozulur (1). Ekskursiyonun kısıtlanması gibi sinirin kinematiğindeki değişikliklerin, periferal nöropatilerin oluşumunda etyolojik bir neden olabileceği ileri sürülmüştür (6).

Ekstremite hareketleri sırasında LE'un kısıtlanması, sinirde elongasyonun artmasına, böylelikle sinirin gerilmesine ve kan akımının bozulmasına neden olmaktadır. İyi vaskülerize ve kompleks bir anatominik yapısı olan sinir dokusu, kan akımındaki değişikliklere karşı aşırı duyarlıdır (1,7,8). İntranöral mikrosirkülasyondaki değişiklik hızla duyu bozukluğu şeklinde ortaya çıkar. Sinirdeki kompresyon; önemsiz paresteziden, total duyu kaybı ve paraliziye kadar değişen fonksiyonel bozukluğa neden olabilir. İskemi ve kompresyon, sinirdeki fibrillerin tipine ve dağılımlarına göre farklı klinik tablolar oluştururlar (9).

Periferik sinirlerin fizyolojik bir özelliği olan LE'un ölçüm sonuçlarının, literatürde bildirildiği gibi canlıda ve kadavrada benzerlik göstermesi şaşırtıcıdır. Canlılarda LE miktarının daha fazla olması gerekmektedir.

Periferik sinirlerin ekskursiyonunun en fazla el bileğinde, karpal tünelin proksimalinde ortaya çıktığı bilinmektedir (3). Karpal tünel sendromu (KTS) gibi kompresif nöropatilerde, median sinirin LE'unun kısıtlandığı kabul edilmektedir. Buna göre transvers karpal ligamentin (TKL) gevşetilmesi, median sinirdeki basıyi kaldıracak ve ekskursiyon miktarını artıracaktır. Aynı zamanda ameliyat sırasında kullanılan turnikenin eksternal bir kompresyona neden olması beklenir. Turnikenin sinir ekskursiyonu üzerine olan etkisi, kompresif bir nöropati modeli olarak değerlendirilebilir.

Bu noktadan hareketle karpal tünel sendromlu olgularda, median sinir ekskursiyonunun araştırılması amaçlandı. Bu çalışmamızda; el bileği seviyesinde

median sinirin ekskursiyonunun in vivo ölçümü, longitudinal ekskursyon miktarının saptanması, ameliyat öncesi ve sonrası LE'un karşılaştırılarak cerrahi girişimin ekskursiyona etkisi ve turnike uygulanması sonucu gelişen eksternal kompresyonun median sinir ekskursiyonu üzerindeki etkileri incelendi ve sonuçlar değerlendirildi.

## **GENEL BİLGİLER**

Bu bölümde periferik sinir mikroanatomisi ve kinematiği ile median sinirin yeraldığı karpal kanal anatomisi özetlenecektir.

A-Periferik Sinirin Mikroanatomisi ve Kinematiği ( 1,4,7,8,10);

I - Periferik sinirler 3 farklı destek doku kılıfı ile sarılmış sinir fibrillerinden oluşmuşlardır.

1. Endonörium;

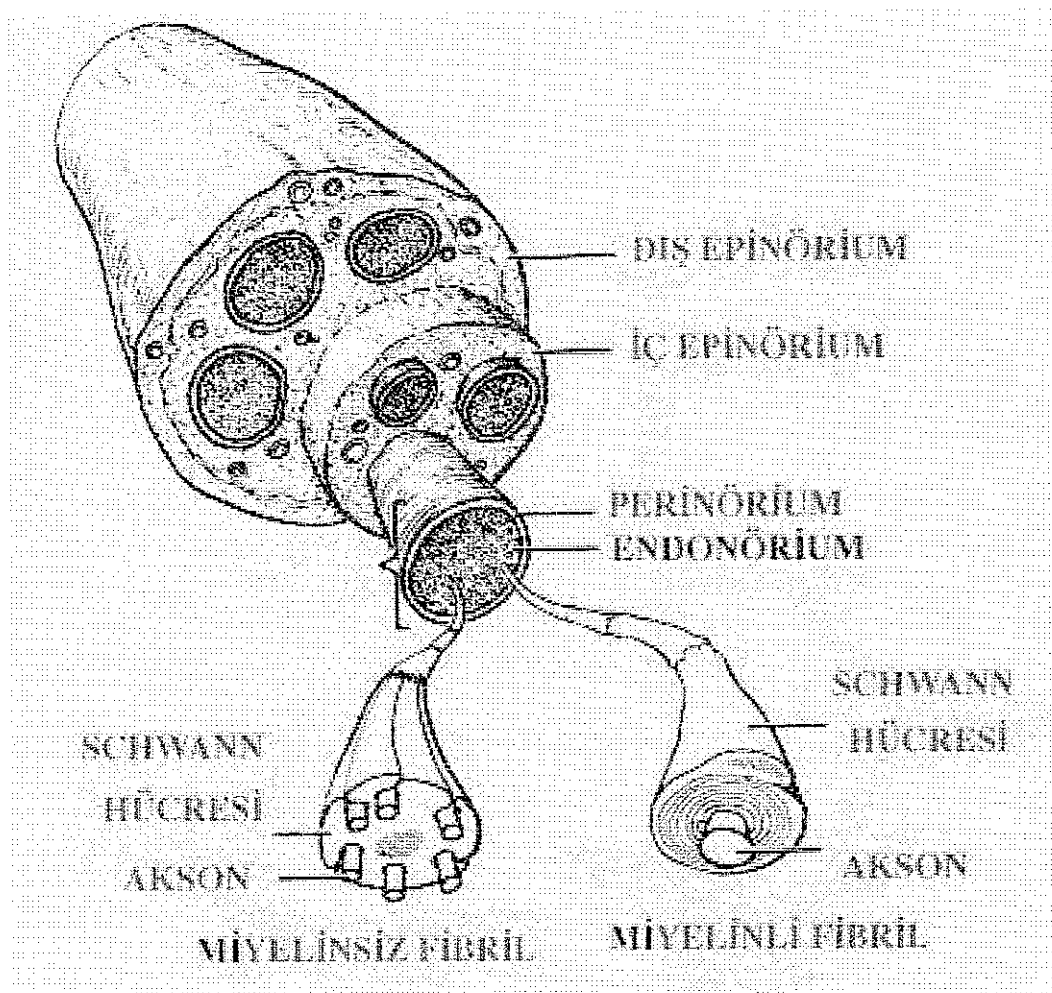
Temel hücresel komponenti fibroblast olan sinir fibrillerini saran yapıdır. Ayrıca mukopolisakkarid maddesi içerisinde, longitudinal yerleşimli kollajen ve retikulum fibrilleri içerir (Şekil 1).

2. Perinörium;

Sinir fibrilleri, endonörium dokusu ile sarılı gruplar halinde fasiküler içinde yer alır. Her bir fasikülde perinörium tarafından sarılmıştır (Şekil 1). Perinörium yassi hücrelerden oluşan, kollajen fibrillerin longitudinal, oblik ve dairesel yerlesīiği, elastik fibrilleri de içeren mekanik olarak kuvvetli bir membrandır ve nöral dokuya skelatal destek görevi görür. Periferik sinirlerde tensil kuvvetin primer dağılmasından sorumludur.

### 3. Epinörium;

Fasiküler gruplar periferik sinirlere ve seviyelerine göre değişen miktarda gevşek bir konnektif doku olan, onları kompresyondan koruyan epinörium içine gömülüdürler. Fasiküllerin arasındaki perifasiküler ve interfasiküler alanı dolduran gevşek bağ dokusudur. Dış ve iç tabakası olarak iki kısma ayrılır (Şekil 1).



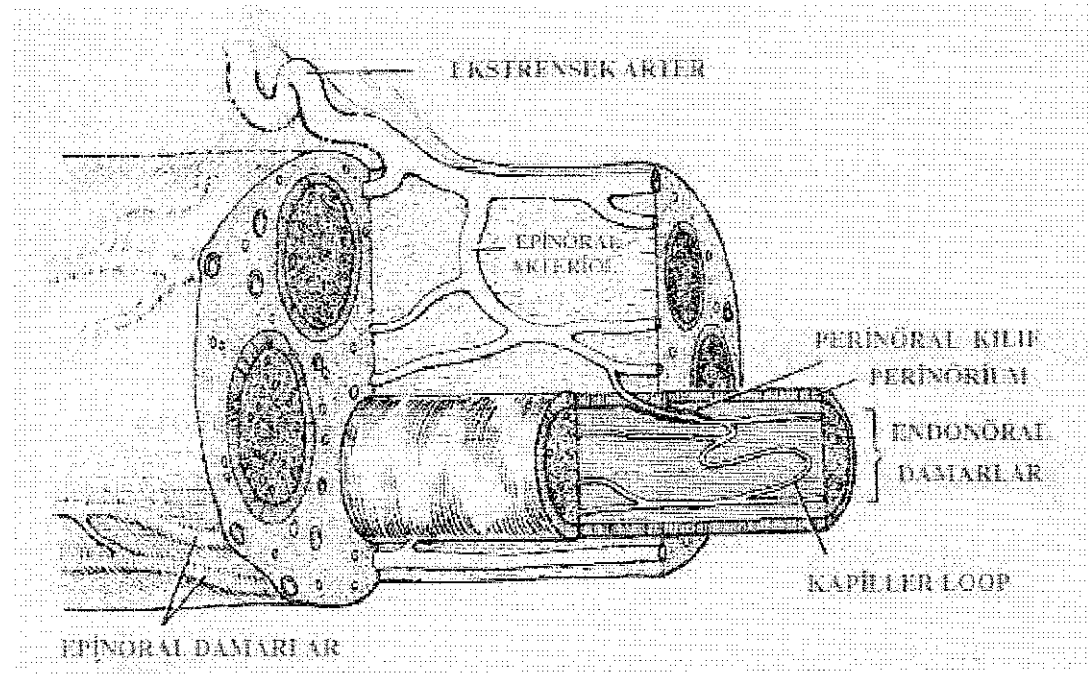
Şekil 1: Periferik sinirin transvers kesiti.

Derin fasiyal yada paranöral doku; sinir ve çevresindeki dokular arasındaki aralıkları dolduran, özleşmemiş konnektif dokunun gevşek ağ şeklindeki tipidir. Gevşek olarak bu dokularla birleşir ve bir dokunun diğerine karşı hareketine izin verir. Bu doku sinir dokusu ile birlikte bulunmakta ise de sinirin bir komponenti olarak kabul edilmez.

Sinirin tüm uzunluğu boyunca yapısı devamlı olarak değişir. Fasiküller tekrar tekrar ayrılip birleşerek kompleks fasiküler pleksusu oluştururlar. Sinirin tüm uzunluğu boyunca bağımsız ve yönü değişmemiş fasikül yoktur. Sinirin tensil kuvveti sinirin fasikül sayısı ile artar. Sinir kesitinde epinöral ve fasiküler dokunun rölatif miktarı sinirin farklı seviyelerinde değişiktir. Fasiküler doku oranı %30-70 arasında değişir. Konnektif doku komponenti ve fasiküler anatominin özellikleri kompresyon yaralanmalarına karşı önemli bir korunma sağlar.

## II - Sinir kan dolaşımı;

Periferik sinirlerin mikrovasküler sistemi tüm tabakalarda iyi bir şekilde gelişmiş vasküler pleksuslarından oluşur (Şekil 2). Sinirin yönü boyunca segmental dallar alırlar. Bu segmental damarlar genellikle sinire gevşek ve kıvrılmış şekilde girerler. Sinirin ekskursyonunu kısıtlamazlar. Perinöriumdan endonöriuma geçerken oblik şekilde olduklarından kapak mekanizması görevini görürler.



Şekil 2 : Periferik sinirin damarları.

### III - Endonöral sıvı basıncının fizyolojisi;

Sinirde travma, mekanik irritasyon ya da kompresyon olduğunda epinörium içinde hızla ödem oluşur. Perinöriumun diffüzyon bariyer etkisi göstermesi nedeniyle ödem fasiküllerin içine ilerlemez. Perinöral tabaka fibrillerin korunmasında önemli bir rol oynar. Ayrıca epinöral ve endonöral damarlar; ekstravazasyona izin vermezler ve kan beyin bariyeri analogu gibi kan sinir bariyeri oluştururlar. Böylece kombine diffüzyon bariyerleri ile endonörium korunmuş olur.

### IV - Sinir fibrilleri;

Aksonlar, Medulla Spinalis'in dorsal kök ganglionlarındaki (duyu) yada ön boynuz (motor) nöronlarındaki sinir hücrelerinin periferik uzantılarıdır. Schwann hücreleri ile birlikte fibrilleri oluşturur. Miyelinli fibrillerde akson, tek bir Schwann hücresi ve miyelin kılıfı ile; miyelinsiz fibrillerde ise çok sayıda akson Schwann hücresince sarılmıştır (Şekil 1 ).

Fonksiyon ve boyutuna göre fibril tipleri ; Grup A iletisi hızı yüksek en büyük miyelinli somatik afferent ve efferent fibriller, Grup B miyelinli otonomik ve preganglionik fibriller ve Grup C en ince miyelinsiz visseral ve somatik ağrı fibrilleridir.

### V - Sinirin gerilme direnci ve elastisitesi;

Periferik sinirler, biyomekanik özellikleri nedeniyle viskoelastik dokulardır. Yük altında bir noktaya kadar sinir dokusu bir elastik doku gibi davranışır ve yükten sonra orijinal şeklini alır. Elastik limiti dışında semiplastik materyal gibi davranışır.

Periferik sinirler bir miktar tensiyon altında bulunur. Sinirin deform edici kuvvetin büyüklüğü, uygulanım hızı ve zamanı gibi faktörlere bağlı olarak elastisitesi nedeniyle elongasyon genişliği vardır.

Sinir, yerleştiği yatağı içinde bir dalgalanma yönünde uzanır. Fasiküller, epinörium ve sinir fibrilleri de fasiküller içinde aynı şekilde uzanırlar. Bunun anlamı sinir ve sinir fibrillerinin uzunluğu, ekstremitenin herhangi sabit iki noktası arasında bu çizgileri birleştiren çizgiden daha büyüktür.

Bir sinir derece derece gerilirse, önce sinir ve fasiküldeki dalgalanma elimine edilir ve fasikül içinde gerilme görülmez. Bu yolla bu sistemde sağlanan gevşeme, ekstremité hareketi sırasında ortaya çıkan traksiyon kuvvetlerinin nötralizasyonunu ve absorbsiyonunu sağlar. Böylece sinir fibrilleri her zaman aşırı gerilmeden korunur.

Eğer gerilme sürdürülürse; sinir düzleşir, daha sonra gerilir, sonunda da sinir fibrilleri rüptüre olur. Bu durumda bile sinir elastik bir yapı gibi davranışmaya devam eder. Gerilme daha da artırılırsa perinörium rüptüre olur. Bu dokunun kaybı sinirin elastititesinin ve gerilme direncinin kaybına neden olur.

Fleksiyon sırasında sinir kısallığında volüm absorbsiyon etkisi gereklidir. Çünkü eklemin fleksiyonu sinirde kısalmaya ve volümünde artmaya neden olur. Sinir dokusu sıvı gibidir ve komprese edilemez. Eklem ekstensiyeona getirildiğinde sinir elonge olur ve volümü azalır. Elongasyon daha da artırılırsa fasiküler uzar. Özellikle orta segmentte transvers kontraksiyon nedeniyle fasiküler daha da daralır. Fasiküler arasındaki gevşek doku adaptasyonu gerçekleştirten yapıdır.

Endonöral dokunun bir miktar gerilme direnci vardır. Bununla birlikte sinire elastisite ve gerilme direnci veren ana komponent perinöriumdur. Perinörium sağlam kaldığı sürece sinirin elastik özelliği vardır. Fasiküler gerildiği zaman kesit alanı azalır, intrafasiküler basınç artar, sinir fibrilleri komprese olur, mikrosirkülasyon tehlikeye girer. Normal ekstremité hareketleri sırasında ortaya çıkan traksiyon kuvvetleri, fasikül içindeki sinir fibrillerinin kan dolaşımını etkilemez.

Periferik sinirlerin gerilme direnci ve elastisitesi konusunda yapılan çalışmalarda; tavşan tibial sinirinin *in situ* % 11'in üzerinde gerilme altında olduğu (11), kadavra çalışmalarında ise median sinirin el bileği ve dirsek bölgesinde ekstremité hareketlerinde, %10 üzerinde bir gerilme altında kaldığı gösterilmiştir (6).

## VI - Epinöriumun biyomekanik rolü;

Bir sinire basınç uygulandığında epinörium şok absorbe edici rol oynar ve sinirde stresi dağıtarak sinir fasiküllerine ve fibrillerine bu yolla yastıkçık görevi görür. Böylece onları hasardan korur. Epinöral dokunun az olduğu sinirler mekanik yaralanmalara karşı daha duyarlıdır. Epinöral dokunun fazla miktarda olduğu sinirlerde fasiküllere hasar veren kuvvet dağıtilır, sinir içinde fasiküller daha kolay yer değiştirir.

## VII - Kayma mekanizması;

Minimal sürtünmeyle kaymaya izin veren ideal durum iki yüzey arasındaki aralığın sıvı ile doldurulması ile sağlanır. Dokuların her biri diğerine karşı kayar. Bu prensip eklemlerde ve tendon kılıflarında sağlanmıştır. Alternatif bir durum özel kayma dokularının oluşturulmasıdır. Bu gibi kayma dokusu tendonların etrafındaki sinoviyal kılıf ve kas tabakaları arasındaki (skapula ve toraks duvarı arasındaki gibi) vücutun farklı bölgelerinde vardır. Ayrıca benzer bir durum damarların etrafında da görülür. Arterlerin etrafındaki özel bir önemi vardır. Bu gibi kayma mekanizması olmasaydı arter pulsasyonunu hissetmek mümkün olmazdı.

Periferik sinirlerin etrafındaki gevşek bağ dokusundan oluşmuş kayma tabakaları, ilk olarak Schaffer(cit.4), tarafından tanımlanmıştır. Daha sonraları Lang (cit.4), tarafından da sinir etrafında konnektif doku fibrillerinin rastgele düzenlendiği, birbirini takip eden vasküler ve avasküler tabakalar içeren, bağ dokusu tabakaları tanımlanmıştır. Vaskülerize tabakalar bazen yağ dokusu içermesi nedeniyle “*konjonktiva vazorum*” analogu gibi “*konjonktiva nervorum*” olarak isimlendirilmiştir. Van Beek ve Kleinert (cit.4), “*damar adventisiyası*” analogu gibi, sinir çevresindeki kayma dokusuna “*adventisiya*” terimini kullanmışlardır. Krstic (cit.4), bu dokuyu tendonların paratenon analogu gibi “*paranörium*” olarak tanımlanmıştır. Normal bir sinir eksplorasyonunda bu kayma dokusu sinirin kolay disseksiyonuna ve mobilizasyonuna izin verir.

### VIII - Sinirlerin fizyolojik kayması;

Ekstremite hareketleri ile sinirlerin kayması, ekstra ve intranöral kayma yüzeylerinin özelliği ile mümkündür. Sinirin dış tabakasında, ekskursiyona izin veren kayma apparatusu vardır. Hareketi sağlayan ikinci önemli yapı, fasiküller arasındaki gevşek bağ dokusudur. Bu doku kompresyona neden olmaksızın fasiküller arasındaki harekete izin verir.

LE sinirin çevre doku ile, fasiküllerin ve sinir fibrillerinin kendi aralarında birbirleri ile rölatif hareket edebilmesi ile mümkündür. Bu üç seviyenin birinde hareketlerde azalma diğer seviyenin birinde yada diğerlerinde artma ile kompanze edilir.

### IX - Kayma mekanizmasının bozulması ve klinik önemi (3);

Kayma mekanizması tabakalarında fibrozis olursa, kayma kapasitesi bozularak sinir çevre dokuya yapışır. Bu durum; eksternal kompresyon, irritasyon, ödem, hematom, iskemi ve skar oluşumu gibi nedenlerle ortaya çıkabilir. Böylelikle ekstremite hareketi sırasında kayma hareketi inhibe olacak, sinir uzunluğu boyunca traksiyon kuvvetlerinin eşit dağılımı mümkün olmayacaktır. Sonuç olarak, daha fazla traksiyon kuvvetleri absorb etmesi gereken komşu segmentlerde traksiyon kuvvetleri artacaktır. Tolerans limitini aşan sinir dokusu; traksiyon yaralanması, ödem ve fibrozis ile yanıt verecek ve kısır döngü ortaya çıkacaktır.

Paranörium fibrotik olur ve yapışıklıklar gelişirse, epifasiküler epinöriumdan ayırt edilemez. Fibrotik paranöriumun çekmesi ve/veya paranöriumla epinöriumun birleşmesi sinirde kompresyona neden olabilir.

Normal ekskursiyon engellenirse sinirde nördez etkisi ve strainde artma görülür. Strainde artma sinirde doğrudan mekanik hasara yada %10 üzerinde gerilirse iskemi sonucu sinirde yaralanmaya neden olabilir (8).

Tavşan tibial sinirindeki üzerinde yapılan çalışmalarda; % 8 gerilmenin venos staza, %15 gerilmenin total iskemiye neden olduğunu bildirilmiştir (11,12,13,14,15). Sinirdeki %6'lık gerilmenin iletide 1 saatten fazla süren %70'lik bir azalmaya neden olduğu, %12'lik gerilmenin ileyi tamamen durdurduğu gösterilmiştir (16).

Kayma tabakalarının sağlam kaldığı sinir kesilerindeki primer onarımlarda; sinir uçları kolaylıkla paranöral tabaka içinde uygun tensiyon altında yaklaştırılarak, uç uca onarım yapılabilir.

Sekonder sinir onarımlarında, primer onarıma göre sinir uçlarında fibrozis ve kayma mekanizmalarında bozulma olacağını, uç uca onarım ihtimali azalacaktır. 25-30 mm'ye kadar ulaşan sinir defektlerinin; kan dolaşımını engellemeden sinirde yeterli ekskursiyonun sağlanabileceğinin ve primer veya erken sekonder sütürler ile giderilebileceğinin bildirilmiştir (17,18). Sonuç olarak sekonder onarımlarda sinir greftleri endikasyonu daha sıkılıkla konulacaktır.

Serbest sinir greftlerinde, konulduğu bölgedeki yeni damarlanması bağlı olarak yapışıklık oluşması beklenir. Primer onarımlardan sonra, kayma dokusunun rejenerasyonu ile sinir hareketliliğini yeniden kazanabilir. Fakat sinir greftlerinde hiçbir zaman bu olmaz. Sinir greftlerinin yapışık kaldığı kabul edilir. Bu olay sinir greftlerinin neden tensiyona hassas olduğunu açıklamaktadır. Mobilizasyonun, greft uçlarının proksimali ve distalinde tensiyonun artmasına neden olduğu açıktır. Bu nedenle sinir greftlerinde; greft uzunluğunun, komşu eklemlerin ekstansiyon pozisyonunda iken sinirin distal ve proksimal ucu arasındaki maksimum mesafe ile uygun olması gereklidir. Mobilizasyon başlarsa sinirin uzunluk farkına adaptasyonu yalnızca gevşeme ile olur, elongasyon olmaz. LE'un önemli olduğu diğer bir klinik durum kompresif nöropatilerdir. KTS, en sık karşılaşılan periferal kompresif nöropatidir.

El bileğinde proksimal yönde siniri deform eden makaslama kuvvetlerinin distal yönündeki deformasyondan daha şiddetli olduğu bilinir. En fazla makaslama kuvveti oluşturan el pozisyonu el bileğinin fleksiyonuna ilave olarak parmakların ekstansiyonudur. Sinirde kompresyon ve yapışıklık olduğu zaman distalindeki ekstremitenin hareketinde longitudinal kayma için bir gereksinim ortaya çıkacaktır. Bu traksiyon, kompresyonun distalinde sinire ek bir kompresif kuvvet üretecektir. Longitudinal traksiyon kuvveti sinirde daralmaya ve sinirin içerisinde minikompresyona neden olur. Bu da klinik semptomların niçin kompresyon alanın proksimal ve distaline yayıldığı açıkla-

Bu görüş kompresif lezyonların medikal tedavisinde eklemin bir pozisyonda tutulmasının sinirin LE gereksiniminin ve longitudinal kuvvetlerin potansiyel etkilerinin azaltılması nedeniyle splintlemeyi destekler. İstirahat sinir etrafındaki inflamatuar cevabı azaltacak ve dekompresif bir cerrahi girişime gereksinim olmaksızın semptomların azalmasına neden olacaktır.

Adheziv nöritler de, LE'un önemli olduğu diğer bir klinik durumdur. Bir sinir uzun süreli kompresyon ya da internal ve eksternal (cerrahi nedenli) travma ile yaralanmasını takiben çevresindeki dokulara sekonder olarak yapışır. Sinirin skar nedeniyle çevre dokulara bağlanması sonucu, ekstremitenin distal yada proksimale hareketi ile aksonal uyarı görülecektir. Çevre dokuya sıkı bir şekilde yapışan sinirde nöroliz uygulandığı zaman, ameliyat sonrası dönemde LE sağlanmalıdır. Sinirin lokal çevresinin değiştirilmesi için bir işlem yapılmaz ise, adhezyonlar yeniden oluşacak ve klinik sendrom kalıcı olacaktır. Bazı KTS'lu hastaların uygun teknikle yapılan yeterli bir karpal tünel gevşetilmesini takiben görülen semptomların rekürrensi; normal ekskursiyonu engelleyen ameliyat sonrası sinir çevresi skar dokuları tarafından, sinirin traksiyonuna neden olması ile açıklanabilir.

Lokal çevrenin değiştirilmesi için yağ dokusu grefleri, kas flepleri, sinir transpozisyonu gibi sinirin yeni çevresinde iyileşmesine izin veren bir çok teknik kullanılmıştır. Nöroliz işleminin tüm amacı ekstremite hareketi ile sinirin longitudinal kaymasını restore etmeye yönelik olmalıdır.

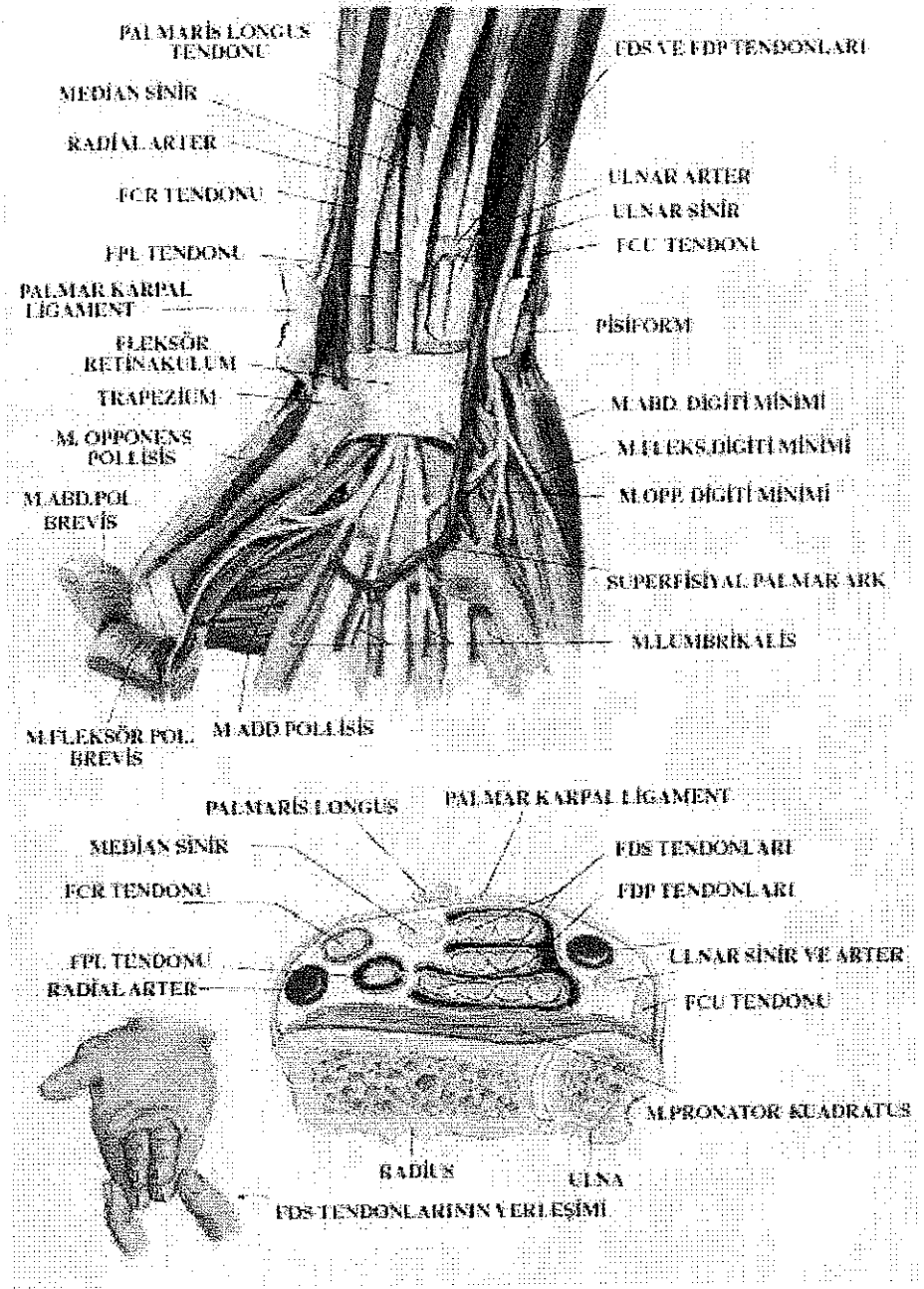
### B – Karpal kanal (18);

Proksimal ve distal ucu açık olmasına rağmen fizyolojik olarak kapalı kompartman gibi davranışır. Karpal kanalın dorsali ve lateralı karpal kemiklerin konkav arkı tarafından sınırlanmış olup volarinde fleksör retinakulum bulunur. Ulnar kenarını; hamatumun çengeli, triquetrum ve pisiform kemikleri oluşturur. Radial kısmını skaroid, trapezium ve fleksör karpi radialis tendonunu (FKR) örten fasiyal septum oluşturur.

Fleksör retinakulum distal radiustan metakarpların kaidesine kadar uzanır ve üç komponenti vardır. Bunlar derin ön kol fasiyası, TKL ile tenar ve hipotenar kaslar arasındaki distal aponeurozdur. TKL radialde skaroid ve trapezium tüberküllü, ulnarda hamatumun çengeli ve pisiform arasında uzanır. En yüzeyel tabaka proksimal önkol fasiyası, palmaris longus tendonu (PL) ve distal palmar fasiyadan oluşur. Kanaldan 9 adet fleksör tendon ve median sinir geçer.

Median sinir distal ön kolda PL tendonu dorsoradialinde, FKR ve fleksör digitorum superficialis (FDS) tendonları arasında, daha yüzeyel olarak uzanır. Karpal kanalın radiopalmar bölümünde fleksör retinakulumun altından geçer ve retinakulumun distal ucunda dallarına ayrılır (Şekil 3).

Karpal kanaldan transvers bir kesit alınırsa; en yüzeyel yapı FKR tendonudur (Şekil 3). Ancak bu kasın tendonu kendi özel kanalından geçer. Bu kasın derininde FDS tendonları bulunur. 3. ve 4. parmak FDS tendonları daha yüzeyel yerlesir. FDS tendonları ve fleksör retinakulumun arasında median sinir, daha derinde fleksör digitorum profundus (FDP) tendonları ve median sinirin lateralinde fleksör pollicis longus (FPL) tendonu bulunur. Kanal içinde tüm tendonlar kayma hareketine izin veren sinoviyal doku ile sarılıdır. Nötral pozisyonda median sinir FPL tendonunun palmar ve ulnarında, 3. parmak FDS tendonunun radialinde 2. parmak FDS tendonunun palmar ve radialinde bulunur (19,20,21).



**Şekil 3:** Karpal kanalın anatomik görünümü ve transvers kesiti.

## GEREÇ VE YÖNTEM

Bu çalışmada, 01 Ocak - 30 Temmuz 1998 tarihleri arasında Akdeniz Üniversitesi Tıp Fakültesi Hastanesi Ortopedi ve Travmatoloji Anabilim, El Cerrahisi Bilim Dalı'nda KTS tanısı konulan 22 olgunun 28 eli değerlendirildi. Olguların tanısı; öykü, klinik ve elektronöromyografik değerlendirmeleri ile konuldu.

Yaş ortalaması 49 ( 34 - 68) olan olguların, 21'i (%96.4), kadın; 1'i (%3.6) erkekti. Olguların 8'i (% 36,4) sağ, 8'i (% 36,4) sol ve 6'sı (%27,2) her iki elinden ameliyat edildi. Bilateral olgularda genel, diğerlerinde aksiller anestezi kullanıldı. Cerrahi teknik olarak Menon tekniği (22) ile endoskopik karpal tunnel gevşetilmesi uygulandı.

Median sinirin ekskursyonunun ölçümü; transvers karpal ligament gevşetilmeden önce ve sonra olmak üzere, el bileğinin 110 cm. mesafeden 3 farklı pozisyonunda çekilen lateral el bilek grafilerinden yapıldı.

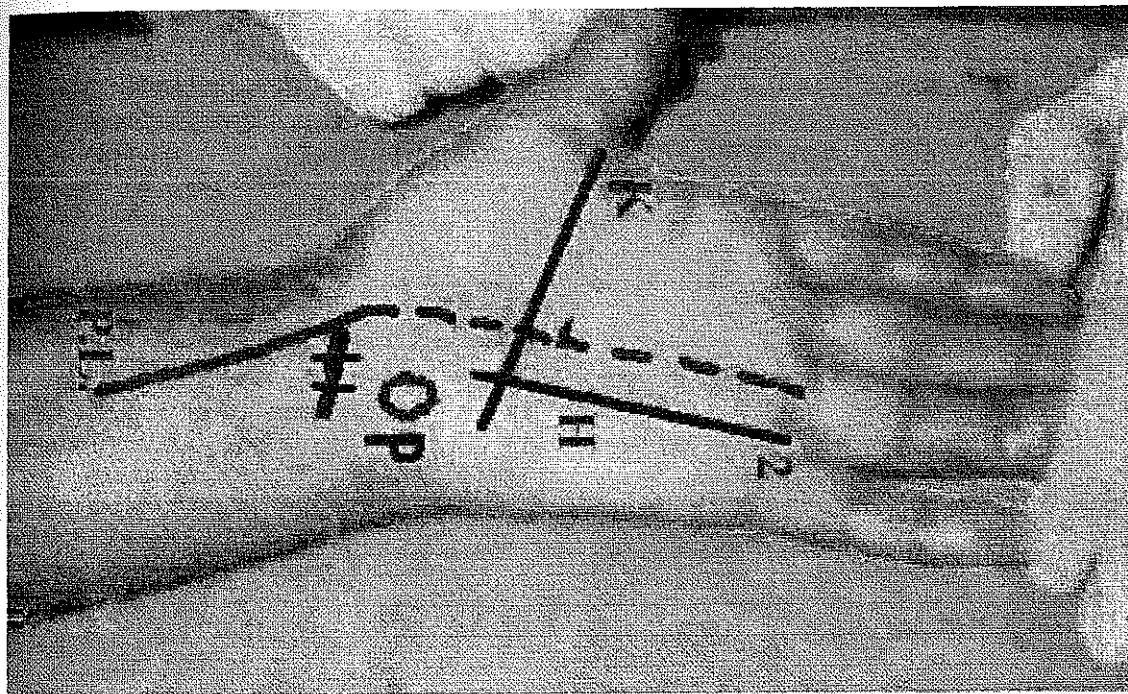
Kola uygulanan turnikenin, median sinirin el bileği seviyesindeki ekskursyonuna olan etkisinin araştırılmasında; 14 hastanın ameliyatının tüm aşamasında pnömatik turnike kullanılırken, 14 hastada grafilerin çekimi aşamasında turnikeleri çıkartıldı.

Karpal kanalın gevşetilmesinde; plastik kökenli disosibl iki dilatatör, bir adet kesici bıçak ve endoskop ile bıçağın içine girebildiği bir adet kanülden oluşan, "Concept Carpal Tunnel Relief Kit (Linvatec, Largo, Fl,USA)" kullanıldı.

Endoskopik girişimler, 25° ve 2 7 mm'lik Wolf endoskop, 250 Watt'lık Storz soğuk ışık kaynağı ve Sony video-printer ile yapıldı.

### Cerrahi teknik:

Hastalara yapılacak girişimin detayları anlatılıp yazılı izinleri alındı. Hastalar supine pozisyonunda ameliyat masasına yatırıldı ve omuz  $90^{\circ}$  abduksiyonda iken ekstremité el supinasyonda olacak şekilde el masasına yerleştirildi. Önce palmar yüzde, pisiform kemik, elbileğinin ulnar kenarında palpe edilerek işaretlendi. Daha sonra Kaplan'ın kardinal çizgisi (başparmak ve işaret parmağı arasındaki interdigital kıvrım tepesinden proksimal palmar çizgiye parellel olarak elin ulnar tarafına doğru uzanan ve pisiform'un yaklaşık 4-5 mm distalinden geçen bir çizgidir) çizildi (Şekil 4).

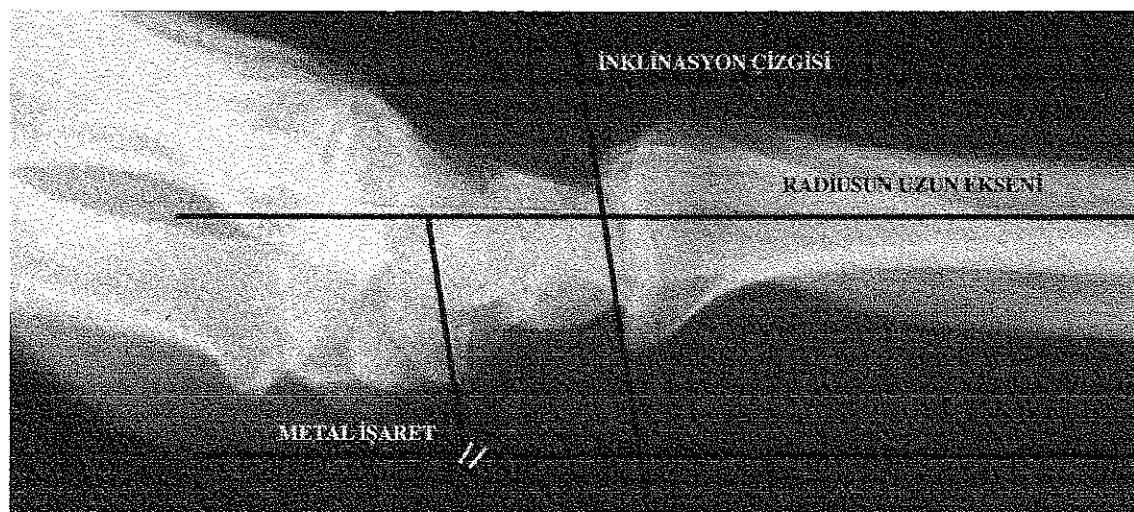


Şekil 4. Cerrahi çizgiler (K; Kaplan'ın kardinal çizgisi, P;pisiform, H;hamatum, 2;4. parmağın ulnar tarafından çizilen çizgi)

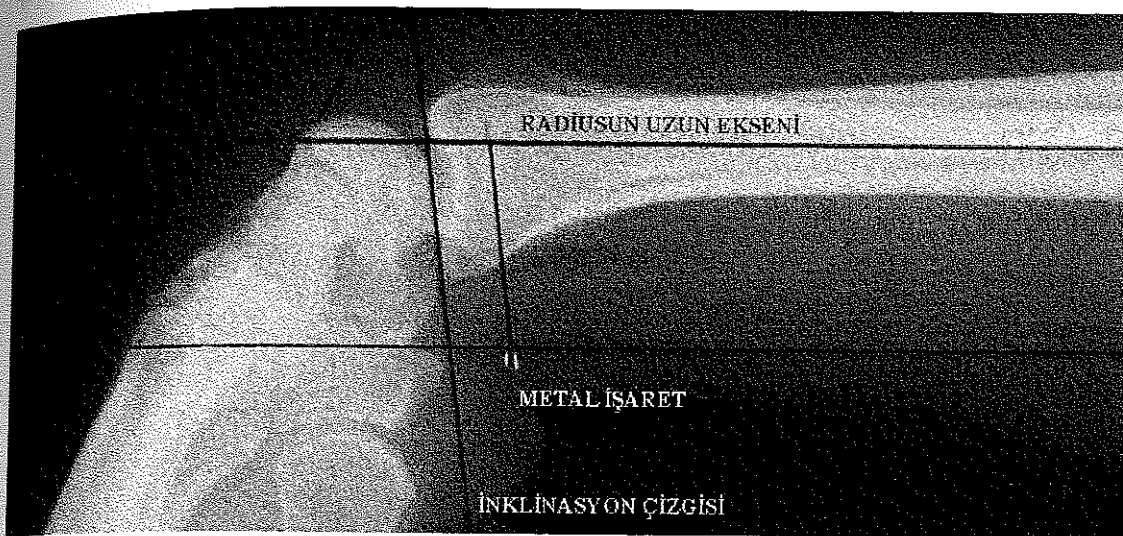
4. parmağın ulnar tarafından el bileğine doğru proksimal yönde longitudinal uzanan ikinci çizgi çizildi. Bu iki çizginin kesişme noktası, transvers karpal ligamentin distal ulnar yapışma yeri olan hamatum'un çengelini gösterir. Bu iki referans noktası arasında, TKL'in distal kenarı bulunur. 4. parmağın radial kenarından el bilek çizgisine doğru 3. bir çizgi çizildi (Şekil 4). Keside, el bileği volarinde, bu çizgi ile distal fleksör katlantı çizgisinin kesiştiği noktadan başlandı ve yaklaşık 1.5 cm. lik transvers kesi palmaris longus tendonunun ulnar tarafında sonlandırıldı. Künt ve keskin disseksiyonları takiben önkol antebrakiyal fasiyasının transvers fibrilleri ortaya çıkarıldı. Fasiya fibrillerin yönünde açıldı ve önce künt disseksiyonla açıldığı yerden genişletildi.

Median sinir ortaya çıkarıldı ve ölçümler için  $0.5 \times 4$  mm büyüğünde iki adet silindirik küçük metal parça median sinire epinöral olarak sagital ve koronal planlarda yerleştirildi ve cilt kesileri sütüre edildi. Turnikenin ekskursiyon üzerindeki etkisinin araştırıldığı 14 hastada turnikeleri boşaltılarak grafi çekilmesi aşamasına geçildi.

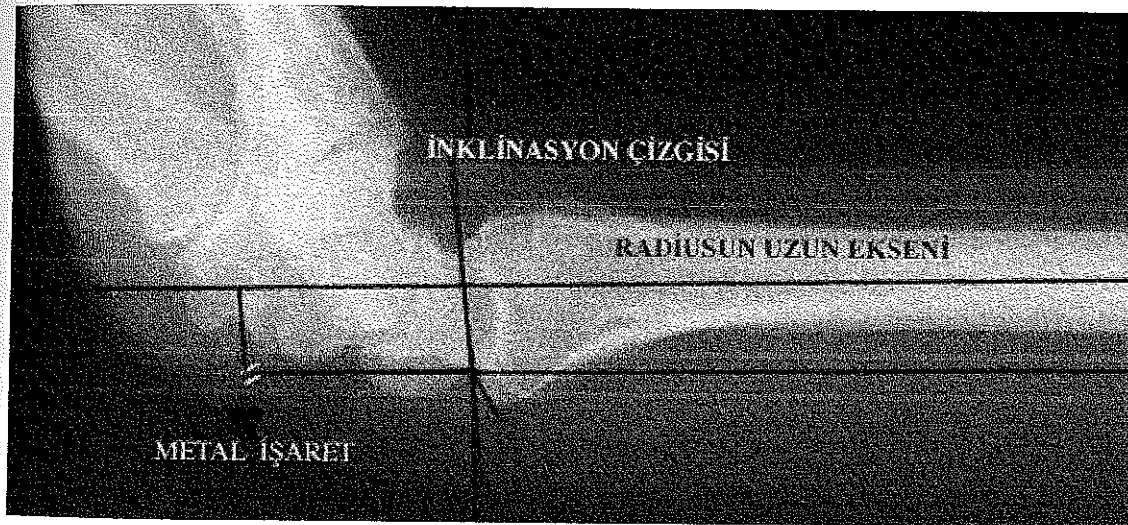
Hastaların omuzları  $90^\circ$  abduksiyonda, dirsekleri  $10^\circ$  fleksiyonda, ön kolları nötral pozisyonda iken, gonyometre kullanılarak  $20^\circ$  ve  $65^\circ$  dorsifleksiyonda,  $60^\circ$  palmar fleksiyonda lateral el bilek grafileri çekildi (Şekil 5,6,7). Parmak hareketlerinin sinir ekskursiyonunu etkilememesi için, parmaklar  $0^\circ$  'de nötral pozisyonda tutuldu.



Şekil 5.  $20^\circ$  palmar fleksiyon



Şekil 6.  $60^\circ$  palmar fleksiyon.

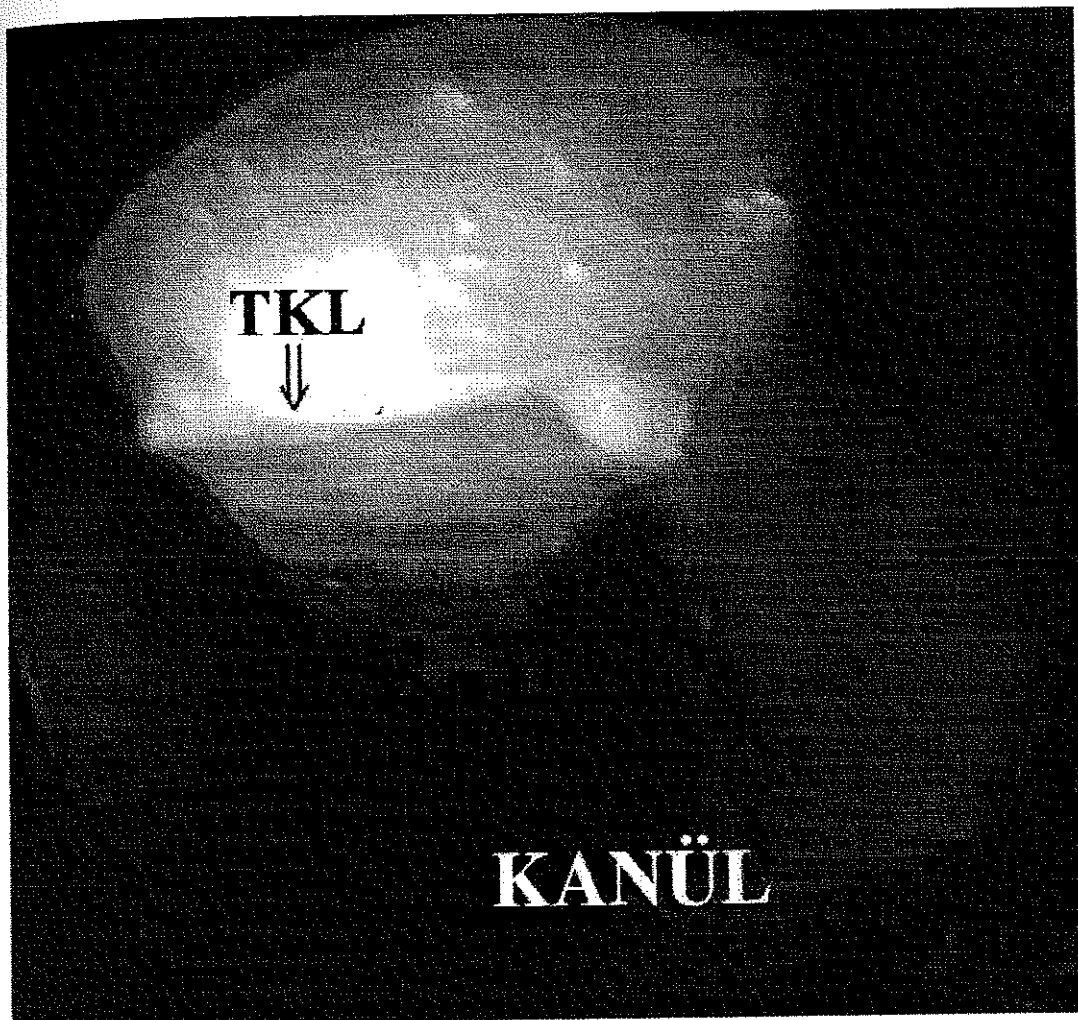


Şekil 7.  $65^\circ$  dorsal fleksiyon.

Turnikelerin çözüldüğü 14 olguda, tekrar turnike sarıldı ve cilt sütürleri alındı. Fasyal kesiden 5.5 mm ve 7 mm dilatatörlerle, 4. parmağın her iki kenarı boyunca çizilen çizgilerin arasından TKL'in distal kenarının birkaç mm distaline kadar genişletme işlemi yapıldı. Bu seviyede ulnar nörovasküler yapıların yaralanmaması için dikkatli olundu.

Kanül, el bileği ekstansiyonda iken 4. parmağa doğru, ucu TKL distalinin birkaç mm distaline gelecek şekilde karpal kanal içine yerleştirildi. Kanülün

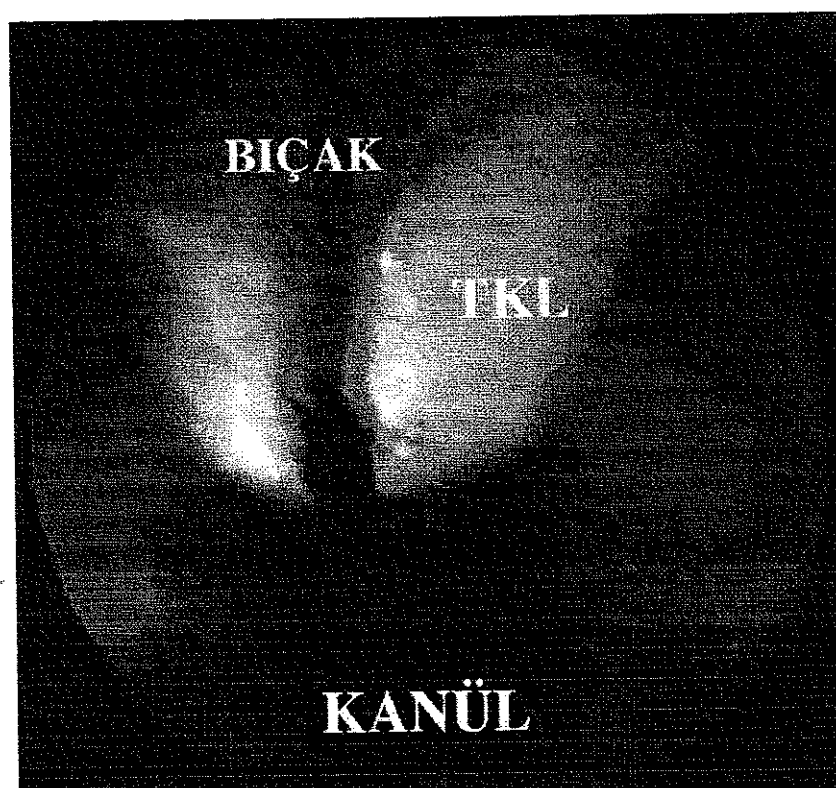
proksimal ucundan 25°'lik 2.7 mm endoskop yerleştirilerek TKL görüntülendi (Şekil 8). Daha sonra endoskop TKL proksimaline kadar geri çekildi. Bıçak konkav ucu TKL proksimal ucuna gelecek şekilde kanülün içine yerleştirildi ve proksimalden distal yönे doğru bıçak itilerek TKL kesildi (Şekil 9,10). Proplar ile TKL'in total olarak kesilip kesilmediği kontrol edildi. Kanül radial tarafa doğru döndürülerek median sinir izlendi.



Şekil 8. TKL'in görünümü.



Şekil 9. Bıçağın yerleştirilmesi.



Şekil 10. TKL kesilirken.

TKL kesildikten sonra cilt sütüre edildi ve işlemler tekrarlanarak, aynı pozisyonlarda grafiler tekrarlandı.

Cilt sütürleri alındıktan sonra metal işaretler loop yardımı ile bulunarak sınırden çıkartıldı. Hemostaz sağlandı ve kesi 5/0 prolen ile kapatıldı. Kompressif bandaj uygulanıp ameliyat sonlandırıldı.

Cilt kesisine başlanması ile cildin kapanması arasında geçen süre ortalama 40 dakika (en az 30, en fazla 55 dakika) olarak saptandı.

Hastalar ameliyat sonrası serviste, cerrahi işlem sonrası görülebilecek nörovasküler ve anestezi komplikasyonları açısından, 6 saat süre ile izlendiler. Gözlem sırasında ameliyat edilen elin baş seviyesinden yüksekte elevasyonda tutulmasına dikkat edildi. Ameliyat sonrası erken dönemde, hiçbir hastada nörovasküler komplikasyon gelişmedi ve aynı gün taburcu edildiler.

Ameliyat sonrası 2. gün kesi yeri görülüp, parmaklar ve el bileğine yönelik aktif hareket egzersizlerine başlandı. Hastaların performanslarına bağlı olarak el bilek hareketleri serbest bırakıldı. Ortalama 9 (6 –13) aylık izlem süresinde; ilk ay her hafta, daha sonra aylık kontroller ile poliklinik takipleri yapıldı. İzlem sırasında yara bakımı, semptomların varlığı (subjektif), duyu muayeneleri, postoperatif komplikasyonlar yönünden değerlendirildi.

Çekilen lateral el bilek grafileri üzerinde radiusun uzun eksenin ve inklinasyon düzlemleri çizildi (Şekil 5,6,7). Grafilerde sinire epinöral yerleştirilen metallerin, radius uzun eksenine paralel olacak şekilde inklinasyona olan uzaklıklarını kumpas ile 0.01 mm duyarlılığında, 3'er kez ölçüldü ve bu değerlerin ortalamaları alındı. Bu işlem her 3 pozisyonda çekilen grafilerde tekrarlandı. 20°deki dorsifleksiyon grafileri, ölçümlerde başlangıç noktası olarak kullanıldı.

İnklinasyon düzleminin distali yönündeki hareketler '+', proksimali yönündeki hareketler '-' olarak mm cinsinden belirtildi (Şekil 6 , 7 ).

Elde edilen verilerin istatistiki değerlendirmesi SPSS for windows v: 7.5.1 (SPSS Inc., 1996) programı ile t-testi kullanılarak yapıldı.

## BULGULAR

Çekilen grafiler üzerinde yapılan ölçümler Tablo 1'de verilmiştir.

Çekilen grafilerde hareket etmeyen veya beklenenin tersini yapıp palmar fleksiyonda nötral noktanın distaline, dorsal fleksiyonda nötral noktanın proksimaline giden işaretleme olmadı. Ameliyat öncesi biri bilateral 4 olgu ve ameliyat sonrası 2'si bilateral 7 olguda, palmar fleksiyondaki işaret, inklinasyon çizgisini geçmedi.

Kesi yeri nedeniyle nötraldeki işaretleme negatif bir değerde olmadı ve ortalama  $15.2 \pm 4.07$  mm ölçüldü. Gruplar kıyaslandığında, operasyon öncesi (ortalama 15.2 mm) ve operasyon sonrası (ortalama 15.9 mm) nötral noktalar arasındaki yerleşim farklılığında anlamlı bir fark saptanmadı ( $p=0.5$ ). Bu uygun nötral yerleşimin ve ölçümlerde belli bir standartizasyonun sağlandığını göstermektedir.

Çalışmada ( $n=28$ ) girişim öncesi; dorsifleksiyonda ortalama 8.35 mm distale, palmar fleksiyonda 21.61 mm proksimale, total 29.96 mm hareket saptandı. Girişim sonrası; dorsifleksiyonda 7.99 mm distale, palmar fleksiyonda 20.46 mm proksimale, total 28.45 mm hareket saptandı. Girişimin dorsifleksiyona net etkisi -0.35 mm azalma, palmar fleksiyona net etkisi -1.15 mm azalma şeklinde oldu. Toplam ekskursiyonda ortalama -1.5 mm kayıp olduğu görüldü.

Bu verilerin t testi ile yapılan değerlendirmesine göre, cerrahi girişimin etkisi yönünden, cerrahi girişim öncesi ve sonrası distal ekskursyonlar ( $p=0.68$ ) ve proksimal ekskursyonlar ( $p=0.28$ ) ile total ekskursyonlar ( $p=0.308$ ) arasında istatistiksel olarak anlamlı farkı olmadığı saptandı.

Ekskursyonlara ait istatistiksel değerler Tablo 2'de milimetre cinsinden verilmiştir.

| Sıra | Cins | taraf | çift | Ameliyat öncesi |         |        | Ekskursiyon |        |           | Ameliyat Sonrası |         |        | Ekskursiyon |        |           | Amel. sonrası-öncesi |     |       |
|------|------|-------|------|-----------------|---------|--------|-------------|--------|-----------|------------------|---------|--------|-------------|--------|-----------|----------------------|-----|-------|
|      |      |       |      | Turnike         |         |        | Distal A    | Prok B | Total A+B |                  |         |        | Distal a    | Prok b | Total a+b | Df                   | pI  | Total |
|      |      |       |      | nötral          | Dorsifl | Palmfl | Df-n        | n-pf   | dist+pr   | nötral           | Dorsifl | Palmfl | d-f-n       | n-pf   | dist+pr   | Df                   | pI  | Total |
| 1 K  | Sol  | +     | (+)  | 5.9             | 21.1    | -17.5  | 15.2        | 23.4   | 38.6      | 9.5              | 23.2    | -19.7  | 13.7        | 29.2   | 42.9      | 1.5                  | 5.8 | 4.3   |
| 2 K  | Sağ  | +     | (+)  | 8.2             | 23.7    | -10.6  | 15.5        | 18.8   | 34.3      | 10.6             | 22.2    | -10.7  | 11.6        | 21.3   | 32.9      | -3.9                 | 2.5 | -1.4  |
| 3 K  | Sol  | +     | (-)  | 21.9            | 26.8    | 2.8    | 4.9         | 19.1   | 24        | 22.6             | 28.1    | 2      | 5.5         | 20.6   | 26.1      | 0.6                  | 1.5 | 2.1   |
| 4 K  | Sağ  | +     | (-)  | 15.7            | 22.4    | -5     | 6.7         | 20.7   | 27.4      | 17.4             | 24.2    | -2.5   | 6.8         | 19.9   | 26.7      | 0.1                  | -1  | -0.7  |
| 5 K  | Sol  | +     | (-)  | 15.5            | 24.9    | -4.8   | 9.4         | 20.3   | 29.7      | 15.9             | 26.8    | -5.8   | 10.9        | 21.7   | 32.6      | 1.5                  | 1.4 | 2.9   |
| 6 K  | Sağ  | +     | (-)  | 21              | 27      | -2.4   | 6           | 23.4   | 29.4      | 21.2             | 26.3    | -6.3   | 5.1         | 27.5   | 32.6      | -0.9                 | 4.1 | 3.2   |
| 7 K  | Sol  | +     | (+)  | 11.9            | 19.9    | -6.3   | 8           | 18.2   | 26.2      | 12.9             | 21.5    | -8.8   | 8.6         | 21.7   | 30.3      | 0.6                  | 3.5 | 4.1   |
| 8 K  | Sağ  | +     | (+)  | 18.4            | 23.3    | -3.2   | 4.9         | 21.6   | 26.5      | 18.6             | 21      | -1.3   | 2.4         | 19.9   | 22.3      | -2.5                 | -2  | -4.2  |
| 9 K  | Sol  | +     | (+)  | 16.2            | 24.1    | -7.8   | 7.9         | 24     | 31.9      | 17.9             | 23.3    | -5.6   | 5.4         | 23.6   | 28.9      | -2.5                 | -1  | -3    |
| 10 K | Sağ  | +     | (+)  | 22.2            | 26.5    | -3.1   | 4.3         | 25.3   | 29.6      | 24               | 26.3    | 7.5    | 2.3         | 16.6   | 18.8      | -2                   | -9  | -11   |
| 11 K | Sağ  | (-)   |      | 14.4            | 25.4    | -16.4  | 11          | 30.8   | 41.8      | 14.3             | 25      | -3.6   | 10.7        | 17.9   | 28.6      | -0.3                 | -13 | -13   |
| 12 K | Sağ  | (+)   |      | 19.6            | 23.9    | 4.6    | 4.3         | 15     | 19.3      | 20.4             | 24.6    | 6.4    | 4.2         | 14     | 18.2      | -0.1                 | -1  | -1.1  |
| 13 K | Sağ  | (+)   |      | 18.9            | 25      | 2.9    | 6.1         | 16     | 22.1      | 18.3             | 25.6    | 3      | 7.3         | 15.3   | 22.6      | 1.2                  | -1  | 0.5   |
| 14 K | Sağ  | (+)   |      | 11              | 21.4    | -8.1   | 10.4        | 19.1   | 29.5      | 12               | 23.1    | -9.2   | 11.1        | 21.2   | 32.3      | 0.7                  | 2.1 | 2.8   |
| 15 K | Sağ  | (+)   |      | 10.6            | 20.7    | -14.4  | 10.1        | 26     | 35.1      | 10.7             | 22      | -7.8   | 11.3        | 18.5   | 29.8      | 1.2                  | -7  | -5.3  |
| 16 K | Sağ  | (+)   |      | 19.3            | 27.5    | -2.1   | 8.2         | 21.4   | 29.6      | 22               | 26.3    | 5.8    | 4.3         | 16.2   | 20.5      | -3.9                 | -5  | -9.1  |
| 17 K | Sol  | (+)   |      | 12.9            | 20.4    | -3.2   | 7.5         | 16.1   | 23.6      | 15.2             | 20      | -1.3   | 4.8         | 16.5   | 21.3      | -2.7                 | 0.4 | -2.3  |
| 18 K | Sol  | (+)   |      | 12.2            | 19.1    | -10.3  | 6.9         | 22.5   | 29.4      | 8.6              | 20.9    | -6.8   | 12.3        | 15.4   | 27.7      | 5.4                  | -7  | -1.7  |
| 19 K | Sol  | (-)   |      | 14.5            | 29.7    | -5.9   | 15.2        | 20.4   | 35.6      | 17.5             | 29.6    | -5.3   | 12.1        | 22.8   | 34.9      | -3.1                 | 2.4 | -0.7  |
| 20 K | Sol  | (-)   |      | 15.7            | 24.3    | -9.3   | 8.6         | 25     | 33.6      | 15.8             | 25.6    | -10.1  | 9.8         | 25.9   | 35.7      | 1.2                  | 0.9 | 2.1   |
| 21 E | Sol  | (-)   |      | 15.4            | 25.6    | 3.3    | 10.2        | 12.1   | 22.3      | 17.7             | 26.3    | 3.3    | 8.6         | 14.4   | 23        | -1.6                 | 2.3 | 0.7   |
| 22 K | Sol  | (+)   |      | 13.5            | 22.2    | -9     | 8.7         | 22.5   | 31.2      | 16.4             | 22.5    | -9.3   | 6.1         | 25.7   | 31.8      | -2.6                 | 3.2 | 0.6   |
| 23 K | Sol  | (-)   |      | 17.8            | 27.4    | -7.1   | 9.6         | 24.9   | 34.5      | 16.6             | 26.9    | -7.7   | 10.3        | 24.3   | 34.6      | 0.7                  | -1  | 0.1   |
| 24 K | Sol  | (-)   |      | 19.2            | 25.6    | -3.6   | 6.4         | 22.8   | 29.2      | 20.7             | 26      | 3.1    | 5.3         | 17.6   | 22.9      | -1.1                 | -5  | -6.3  |
| 25 K | Sağ  | (-)   |      | 17.4            | 23      | -9.2   | 5.6         | 26.6   | 32.2      | 14.4             | 25.2    | -10    | 10.8        | 24.4   | 35.2      | 5.2                  | -2  | -2    |
| 26 K | Sağ  | (-)   |      | 11              | 20      | -12.9  | 9           | 23.9   | 32.9      | 7.7              | 18.9    | -12    | 11.2        | 19.7   | 30.9      | 2.2                  | -4  | -2    |
| 27 K | Sağ  | +( -) |      | 12.5            | 18.4    | -9.5   | 5.9         | 22     | 27.9      | 12.2             | 17.7    | -8.9   | 5.5         | 21.1   | 26.6      | -0.4                 | -1  | -1.3  |
| 28 K | Sol  | +( -) |      | 13.6            | 20.8    | -10.8  | 7.2         | 24.4   | 31.6      | 16.7             | 22.4    | -3.5   | 5.7         | 20.2   | 25.9      | -1.5                 | -4  | -5.7  |

|                   |      |        |       |      |       |        |       |        |       |      |       |       |       |       |      |
|-------------------|------|--------|-------|------|-------|--------|-------|--------|-------|------|-------|-------|-------|-------|------|
| Ortalama          | 15.2 | 23.575 | -6.39 | 8.36 | 21.61 | 29.964 | 15.99 | 23.982 | -4.47 | 7.99 | 20.46 | 28.45 | -0.35 | -1.15 | -1.5 |
| Maksimum          | 22.2 | 29.7   | 4.6   | 15.5 | 30.8  | 41.8   | 24    | 29.6   | 7.5   | 13.7 | 29.2  | 42.9  | 5.4   | 5.8   | 4.3  |
| Minimum           | 5.9  | 18.4   | -17.5 | 4.3  | 12.1  | 19.3   | 7.7   | 17.7   | -19.7 | 2.3  | 14    | 18.2  | -3.9  | -13   | -13  |
| Std               | 4.07 | 2.9069 | 5.72  | 3.09 | 3.93  | 5.0776 | 4.325 | 2.842  | 6.43  | 3.29 | 4     | 5.907 | 2.32  | 4.3   | 4.45 |
| T test 2 tailed 2 | 0.5  | 0.5983 | 0.24  | 0.68 | 0.28  | 0.3082 |       |        |       |      |       |       |       |       |      |

**Tablo 1** Olguların tüm ölçüm sonuçları (dorsifl=dorsifleksiyon, palmfl=palmar fleksiyon, Df-n=dorsifleksiyon-nötral=A=ameliyat öncesi distale hareket, n-pf=nötral-palmar fleksiyon=B= ameliyat öncesi proksimale hareket, dist+pr=distal+proksimal=A+B= ameliyat öncesi total hareket, a=ameliyat sonrası distale , b=ameliyat sonrası proksimale hareket)

| Ekskursiyon (mm)   |                  | Ortalama | Std Dev. | Minimum | Maksimum | N  |
|--------------------|------------------|----------|----------|---------|----------|----|
| Palmar fleksiyonda | Ameliyat öncesi  | 21.61    | 3.93     | 12.10   | 30.80    | 28 |
|                    | Ameliyat sonrası | 20.46    | 4.01     | 14.00   | 29.20    | 28 |
| Dorsal fleksiyonda | Ameliyat öncesi  | 8.35     | 3.09     | 4.30    | 15.50    | 28 |
|                    | Ameliyat sonrası | 7.99     | 3.29     | 2.30    | 13.70    | 28 |
| Total              | Ameliyat öncesi  | 29.96    | 5.07     | 19.30   | 41.80    | 28 |
|                    | Ameliyat sonrası | 28.45    | 5.90     | 18.20   | 42.90    | 28 |

**Tablo 2.** Ölçümlerin istatistiksel değerleri.

Median sinirin el bileği seviyesindeki total ekskursiyon miktarı ortalama ameliyat öncesi  $29.96 \pm 5.07$  mm, ameliyat sonrası  $28.45 \pm 5.90$  mm olarak bulundu.

Tablo 3'de turnike uygulanan grupta ( $T^+$ ), uygulanmayan grubun ( $T^-$ ) ölçümleri verilmiştir.

Turnike uygulanan grupta ( $n=14$ ) ortalama ameliyat öncesi; dorsifleksiyonda distale 8.43 mm, palmar fleksiyonda proksimale 20.63 mm, toplam 29.06 mm hareket saptandı. Ameliyat sonrası; dorsifleksiyonda distale 7.53 mm, palmar fleksiyonda proksimale 19.63 mm, toplam 27.16 mm hareket saptandı. Turnikeli grupta ameliyat, dorsifleksiyonda - 0.9 mm kayıp, palmar fleksiyonda - 1 mm kayıp ortaya çıkmıştır. Ameliyat sonrası ekskursiyonda toplam -1.9 mm kayıp ortaya çıkmıştır. Ancak ameliyatın etkisi yönünden pre- ve postoperatif distal ekskursyonlar ( $p=0.52$ ) ve proksimal ekskursyonlar ( $p=0.51$ ) ile total ekskursyonlar ( $p=0.42$ ) arasında istatistiksel olarak anlamlı fark yoktur.

| T+               | Cins | taraf | çift | Ameliyat öncesi |         |        | Ekskursiyon |       |         | Ameliyat sonrası |         |        | Ekskursiyon |       |         | Amel sonrası-öncesi |     |       |
|------------------|------|-------|------|-----------------|---------|--------|-------------|-------|---------|------------------|---------|--------|-------------|-------|---------|---------------------|-----|-------|
|                  |      |       |      |                 |         |        | Distal      | Prok  | Total   | nötral           | dorsifl | palmfl | df-n        | n-pf  | Dist+pr | Df                  | pf  | Total |
| Sıra             |      |       |      | Nötral          | Dorsifl | Palmfl | Df-n        | n-pf  | Dist+pr | nötral           | dorsifl | palmfl | df-n        | n-pf  | Dist+pr | Df                  | pf  | Total |
| 1 K              | Sol  | +     |      | 5.9             | 21.1    | -17.5  | 15.2        | 23.4  | 38.6    | 9.5              | 23.2    | -19.7  | 13.7        | 29.2  | 42.9    | -1.5                | 5.8 | 4.3   |
| 2 K              | Sağ  | +     |      | 8.2             | 23.7    | -10.6  | 15.5        | 18.8  | 34.3    | 10.6             | 22.2    | -10.7  | 11.6        | 21.3  | 32.9    | -3.9                | 2.5 | -1.4  |
| 7 K              | Sol  | +     |      | 11.9            | 19.9    | -6.3   | 8           | 18.2  | 26.2    | 12.9             | 21.5    | -8.8   | 8.6         | 21.7  | 30.3    | 0.6                 | 3.5 | 4.1   |
| 8 K              | Sağ  | +     |      | 18.4            | 23.3    | -3.2   | 4.9         | 21.6  | 26.5    | 18.6             | 21      | -1.3   | 2.4         | 19.9  | 22.3    | -2.5                | -2  | -4.2  |
| 9 K              | Sol  | +     |      | 16.2            | 24.1    | -7.8   | 7.9         | 24    | 31.9    | 17.9             | 23.3    | -5.6   | 5.4         | 23.5  | 28.9    | -2.5                | -1  | -3    |
| 10 K             | Sağ  | +     |      | 22.2            | 26.5    | -3.1   | 4.3         | 25.3  | 29.6    | 24               | 26.3    | 7.5    | 2.3         | 16.5  | 18.8    | -2                  | -9  | -11   |
| 12 K             | Sağ  |       |      | 19.6            | 23.9    | 4.6    | 4.3         | 15    | 19.3    | 20.4             | 24.6    | 6.4    | 4.2         | 14    | 18.2    | -0.1                | -1  | -1.1  |
| 13 K             | Sağ  |       |      | 18.9            | 25      | 2.9    | 6.1         | 16    | 22.1    | 18.3             | 25.6    | 3      | 7.3         | 15.3  | 22.6    | 1.2                 | -1  | 0.5   |
| 14 K             | Sağ  |       |      | 11              | 21.4    | -8.1   | 10.4        | 19.1  | 29.5    | 12               | 23.1    | -9.2   | 11.1        | 21.2  | 32.3    | 0.7                 | 2.1 | 2.8   |
| 15 K             | Sağ  |       |      | 10.6            | 20.7    | -14.4  | 10.1        | 25    | 35.1    | 10.7             | 22      | -7.8   | 11.3        | 18.5  | 29.8    | 1.2                 | -7  | -5.3  |
| 16 K             | Sağ  |       |      | 19.3            | 27.5    | -2.1   | 8.2         | 21.4  | 29.6    | 22               | 26.3    | 5.8    | 4.3         | 16.2  | 20.5    | -3.9                | -5  | -9.1  |
| 17 K             | Sol  |       |      | 12.9            | 20.4    | -3.2   | 7.5         | 16.1  | 23.6    | 15.2             | 20      | -1.3   | 4.8         | 16.5  | 21.3    | -2.7                | 0.4 | -2.3  |
| 18 K             | Sol  |       |      | 12.2            | 19.1    | -10.3  | 6.9         | 22.5  | 29.4    | 8.6              | 20.9    | -6.8   | 12.3        | 15.4  | 27.7    | 5.4                 | -7  | -1.7  |
| 22 K             | Sol  |       |      | 13.5            | 22.2    | -9     | 8.7         | 22.5  | 31.2    | 16.4             | 22.5    | -9.3   | 6.1         | 25.7  | 31.8    | -2.6                | 3.2 | 0.6   |
| Ortalama         |      |       |      | 14.3            | 22.771  | -6.29  | 8.43        | 20.63 | 29.064  | 15.51            | 23.036  | -4.13  | 7.53        | 19.63 | 27.16   | -0.9                | -1  | -1.9  |
| Maksimum         |      |       |      | 22.2            | 27.5    | 4.6    | 15.5        | 25.3  | 38.6    | 24               | 26.3    | 7.5    | 13.7        | 29.2  | 42.9    | 5.4                 | 5.8 | 4.3   |
| Minimum          |      |       |      | 5.9             | 19.1    | -17.5  | 4.3         | 15    | 19.3    | 8.6              | 20      | -19.7  | 2.3         | 14    | 18.2    | -3.9                | -9  | -11   |
| Std              |      |       |      | 4.82            | 2.5123  | 6.13   | 3.49        | 3.44  | 5.2384  | 4.901            | 2.0148  | 7.816  | 3.87        | 4.42  | 6.917   | 2.55                | 4.4 | 4.46  |
| Ttest 2 tailed 2 |      |       |      | 0.53            | 0.7612  | 0.42   | 0.52        | 0.51  | 0.4201  |                  |         |        |             |       |         |                     |     |       |

| T-                             | Cins | taraf | Çift | Amel öncesi |         |        | Ekskursiyon |       |         | Amel sonrası |         |        | Ekskursiyon |       |         | Amel sonrası-öncesi |      |       |
|--------------------------------|------|-------|------|-------------|---------|--------|-------------|-------|---------|--------------|---------|--------|-------------|-------|---------|---------------------|------|-------|
|                                |      |       |      |             |         |        | Distal      | Prok  | Total   | nötral       | dorsifl | palmfl | df-n        | n-pf  | Dist+pr | Df                  | pf   | Total |
| Sıra                           |      |       |      | Nötral      | dorsifl | Palmfl | Df-n        | n-pf  | Dist+pr | nötral       | dorsifl | palmfl | df-n        | n-pf  | Dist+pr | Df                  | pf   | Total |
| 3 K                            | Sol  | +     |      | 21.9        | 26.8    | 2.8    | 4.9         | 19.1  | 24      | 22.6         | 28.1    | 2      | 5.5         | 20.6  | 26.1    | 0.6                 | 1.5  | 2.1   |
| 4 K                            | Sağ  | +     |      | 15.7        | 22.4    | -5     | 6.7         | 20.7  | 27.4    | 17.4         | 24.2    | -2.5   | 6.8         | 19.9  | 26.7    | 0.1                 | -1   | -0.7  |
| 5 K                            | Sol  | +     |      | 15.5        | 24.9    | -4.8   | 9.4         | 20.3  | 29.7    | 15.9         | 26.8    | -5.8   | 10.9        | 21.7  | 32.6    | 1.5                 | 1.4  | 2.9   |
| 6 K                            | Sağ  | +     |      | 21          | 27      | -2.4   | 6           | 23.4  | 29.4    | 21.2         | 26.3    | -6.3   | 5.1         | 27.5  | 32.6    | -0.9                | 4.1  | 3.2   |
| 11 K                           | Sağ  |       |      | 14.4        | 25.4    | -16.4  | 11          | 30.8  | 41.8    | 14.3         | 25      | -3.6   | 10.7        | 17.9  | 28.6    | -0.3                | -13  | -13   |
| 19 K                           | Sol  |       |      | 14.5        | 29.7    | -5.9   | 15.2        | 20.4  | 35.6    | 17.5         | 29.6    | -5.3   | 12.1        | 22.8  | 34.9    | -3.1                | 2.4  | -0.7  |
| 20 K                           | Sol  |       |      | 15.7        | 24.3    | -9.3   | 8.6         | 25    | 33.6    | 15.8         | 25.6    | -10.1  | 9.8         | 25.9  | 35.7    | 1.2                 | 0.9  | 2.1   |
| 21 E                           | Sol  |       |      | 15.4        | 25.6    | 3.3    | 10.2        | 12.1  | 22.3    | 17.7         | 26.3    | 3.3    | 8.6         | 14.4  | 23      | -1.6                | 2.3  | 0.7   |
| 23 K                           | Sol  |       |      | 17.8        | 27.4    | -7.1   | 9.6         | 24.9  | 34.5    | 16.6         | 26.9    | -7.7   | 10.3        | 24.3  | 34.6    | 0.7                 | -1   | 0.1   |
| 24 K                           | Sol  |       |      | 19.2        | 25.6    | -3.6   | 6.4         | 22.8  | 29.2    | 20.7         | 26      | 3.1    | 5.3         | 17.6  | 22.9    | -1.1                | -5   | -6.3  |
| 25 K                           | Sağ  |       |      | 17.4        | 23      | -9.2   | 5.6         | 26.6  | 32.2    | 14.4         | 25.2    | -10    | 10.8        | 24.4  | 35.2    | 5.2                 | -2   | 3     |
| 26 K                           | Sağ  |       |      | 11          | 20      | -12.9  | 9           | 23.9  | 32.9    | 7.7          | 18.9    | -12    | 11.2        | 19.7  | 30.9    | 2.2                 | -4   | -2    |
| 27 K                           | Sağ  | +     |      | 12.5        | 18.4    | -9.5   | 5.9         | 22    | 27.9    | 12.2         | 17.7    | -8.9   | 5.5         | 21.1  | 26.6    | -0.4                | -1   | -1.3  |
| 28 K                           | Sol  | +     |      | 13.6        | 20.8    | -10.8  | 7.2         | 24.4  | 31.6    | 16.7         | 22.4    | -3.5   | 5.7         | 20.2  | 25.9    | -1.5                | -4   | -5.7  |
| Ortalama                       |      |       |      | 16.1        | 24.379  | -6.49  | 8.26        | 22.6  | 30.864  | 16.48        | 24.929  | -4.81  | 8.44        | 21.3  | 29.74   | 0.18                | -1.3 | -1.12 |
| Maksum.                        |      |       |      | 21.9        | 29.7    | 3.3    | 15.2        | 30.8  | 41.8    | 22.6         | 29.6    | 3.3    | 12.1        | 27.5  | 35.7    | 5.2                 | 4.1  | 3.2   |
| Minimum                        |      |       |      | 11          | 18.4    | -16.4  | 4.9         | 12.1  | 22.3    | 7.7          | 17.7    | -12    | 5.1         | 14.4  | 22.9    | -3.1                | -13  | -13   |
| Std                            |      |       |      | 3.08        | 3.1381  | 5.51   | 2.76        | 4.27  | 4.9358  | 3.785        | 3.2843  | 4.949  | 2.65        | 3.51  | 4.59    | 2.01                | 4.3  | 4.58  |
| ttest 2 tailed 2               |      |       |      | 0.78        | 0.6543  | 0.4    | 0.86        | 0.38  | 0.5365  |              |         |        |             |       |         |                     |      |       |
| Turnike kıyas ttest 2 tailed 2 |      |       |      | 0.26        | 0.15    | 0.931  | 0.891       | 0.191 | 0.358   | 0.562        | 0.077   | 0.786  | 0.469       | 0.284 | 0.257   | 0.22                | 0.85 | 0.65  |

Table 3. Turnike uygulanan ( T+), uygulanmayan (T-) olguların ölçüm değerleri.

Turnike uygulanmayan grupta ( $n=14$ ) ortalama cerrahi girişim öncesi; dorsifleksiyonda distale 8.26 mm, palmar fleksiyonda proksimale 22.6 mm, toplam 30.86 mm hareket saptandı. Cerrahi girişim sonrası; dorsifleksiyonda distale 8.44 mm, palmar fleksiyonda proksimale 21.3 mm, toplam 29.74 mm hareket saptandı. Turnikesiz grupta cerrahi girişim dorsifleksiyonda + 0.18 mm artış, palmar fleksiyonda - 1.3 mm kayıp ortaya çıkmıştır. Cerrahi girişim sonrası ekskursiyonda toplam - 1.12 mm kayıp ortaya çıkmıştır. Ancak ameliyatın etkisi yönünden pre ve postoperatif distal ekskursyonlar ( $p=0.86$ ) ve proksimal ekskursyonlar ( $p=0.38$ ) ile total ekskursyonlar ( $p=0.53$ ) arasında istatistiksel olarak anlamlı fark yoktur.

Kol seviyesinde turnike uygulamasının "t" testi ile yapılan değerlendirilmesinde turnike uygulananlar ile uygulanmayanlar arasında; ameliyat öncesi distal ekskursyonlar ( $p=0.891$ ) ve proksimal ekskursyonlar ( $p=0.191$ ) ile total ekskursyonlar ( $p=0.358$ ) arasında istatistiksel olarak anlamlı fark yoktur. Ameliyat sonrası distal ekskursyonlar ( $p=0.469$ ) ve proksimal ekskursyonlar ( $p=0.284$ ) ile total ekskursyonlar ( $p=0.257$ ) arasında da istatistiksel olarak anlamlı fark bulunamamıştır.

Tablo 4'de median sinir ekskursyonuna cerrahi girişimin etkisi özetlenmiştir.

|                  | Dorsal fleksyon |                 | Palmar fleksyon |                 | Total        |                 |
|------------------|-----------------|-----------------|-----------------|-----------------|--------------|-----------------|
|                  | Amel. öncesi    | Ameliyat etkisi | Amel. Öncesi    | Ameliyat etkisi | Amel. öncesi | Ameliyat etkisi |
| Total n=28       |                 |                 |                 |                 |              |                 |
| Ekskursyon       | 8.35            | -0.35           | 21.61           | -1.15           | 29.96        | -1.5            |
| p                |                 | 0.68            |                 | 0.28            |              | 0.308           |
| Turnike (+) n=14 |                 |                 |                 |                 |              |                 |
| Ekskursyon       | 8.43            | -0.9            | 20.63           | -1              | 29.06        | -1.9            |
| P                |                 | 0.52            |                 | 0.51            |              | 0.42            |
| Turnike (-) n=14 |                 |                 |                 |                 |              |                 |
| Ekskursyon       | 8.26            | +0.18           | 22.6            | -1.13           | 30.86        | -1.12           |
| p                |                 | 0.86            |                 | 0.38            |              | 0.53            |

Tablo 4. Median sinirin ekskursyonuna cerrahi girişim etkisinin istatistiksel verileri.

Tablo 4'den de anlaşılacağı gibi TKL'in gevşetilmesinin, median sinir ekskursiyonuna istatistiksel olarak, pozitif ya da negatif bir etkisi görülmemiştir. Ayrıca kola turnike uygulamanın, yani dıştan basının da median sinirin el bileğindeki ekskursiyonunda da istatistiksel olarak bir etkisi gözlenmemiştir.

4 (%14.2) hastada 3. ve 4. parmaklarda hipoestezi ve bunların 2'sinde (%7.1) kesi yeri duyarlılığı, 2 (%7.1) hastada median sinire ait nöropraksi ve olmak üzere toplam 6 (%21.3) elde anormal duyarlılık saptandı. Bu hastaların 2'sinde (%7.1) RSD gelişti.

Hastaların izlemlerinde nöropriaksiler 3.-12. haftada düzeldi ve herhangi bir kalıcı nörolojik komplikasyon saptanmadı.

## TARTIŞMA

Ekstremite hareketi sırasında bir periferik sinir, fizyolojik olarak sinir yatağının uzunluğundaki değişikliklere uyum sağlamalıdır. Normalde bu uyum periferik sinirin sınırlı miktardaki elastiki özelliği ile sağlanabilir ise de, esas olarak LE tarafından sağlanır. Bu nedenle, longitudinal kayma periferik sinirlerin fizyolojik bir özelliğidir.

Periferik sinirlerin ekskursiyon mesafesi değişik yöntemlerle, bir çok araştırmacı tarafından ölçülmüştür (2,3,4,5,6). Periferik sinir ekskursyonu ile ilgili araştırmalar daha çok üst ekstremitede ve özellikle el bileği seviyesinde yapılmıştır. Periferik sinirlerin en fazla ekskursyonun el bileğinde karpal kanalın proksimalinde ortaya çıktıgı bilinmektedir (3).

McLellan ve Swash (2), median sinirde aksiyon potansiyeli kaydı sırasında, tesadüfen ekstremite hareketi ile median sinirin longitudinal hareket ettiğini ve median sinire el bileği seviyesinde deri üzerinden yerleştirilen iğne elektrodun, ekstremitenin aktif ve pasif hareketi sırasında sinirin longitudinal aksı boyunca angulasyona neden olduğunu gözlemlediler. El bileğinin hareketlerinde median sinirde 10 ila 15 mm'lik ekskursyon ölçütleri.

Wilgis ve ark.(3), 15 taze erişkin kadavrada yüzeyel disseksiyondan sonra üst ekstremitenin tüm periferik sinirlerinin total LE'larını ölçütler ve el bileğinde tam fleksiyon ve ekstansiyon hareketleri sırasında median sinirde 15.5 mm LE buldular.

Rath ve Millesi'nin (cit.4), yaptıkları kadavra çalışmalarında; fleksör retinakulumun proksimal ucu ile median sinir arasında, parmaklar fleksiyonda iken, el bileği ekstansiyonu ve fleksiyonu sırasında total olarak 13.1 mm (dorsifleksiyonda 3.5 mm, palmar fleksiyonda 9.6 mm) hareketin olduğunu gösterdiler.

Zöch ve ark.(cit.4), ise kadavra çalışmalarında median sinir yatağı uzunluğunu, dirsek ve el bileğinin ekstansiyonunda iken  $538.7 \pm 10.7$  mm ; el bileği dirsek ve parmakların fleksiyonunda iken  $438.2 \pm 11.9$  mm olarak saptadılar. Median sinirin uzunluğunu ise eksizyondan sonra  $516.6 \pm 10.4$  mm olarak buldular. Yatağın uzunluğu ile karşılaştırıldığında, el bileğinin ekstansiyonunda median sinirde  $22.1 \pm 6.1$  mm (%4.3) elongasyon, fleksiyonda  $77.1 \pm 8.9$  mm (%15) kısalma olduğunu ortaya koydular.

Szabo ve ark.(5), dirsekten dezartiküle 9 taze kadavra ön kolunda, aktif hareket oluşturmak için fleksör tendon kas bileşkelerine motor bağlantı yaptılar ve 0.5 mm çaplı metal işaretleri median sinire yerleştirdiler. El bileğinin üzerine yerleştirilen video kamera ile nötral,  $30^\circ$  ve  $60^\circ$  el bilek ekstansiyonunda sinirdeki hareketi ölçtüler. Median sinirin el bileği seviyesindeki hareketini 0.9 ila 1.4 cm., ortalama 1 cm. saptadılar.

Wright ve ark.(6), 5 taze kadavranın 10 üst ekstremitesinde, bilek  $65^\circ$  fleksiyon ve  $60^\circ$  ekstansiyonda iken el bileğindeki median sinir ekskursyonunu, Laser işaretleyici ile modifiye edilmiş dijital kumpas kullanarak ölçtüler. Median sinirin el bileğindeki ortalama total ekskursyonunu  $19.6$  mm ( $10.4 \pm 1.5$  mm  $65^\circ$  el bilek fleksiyonunda ve  $9.2 \pm 1.38$  mm  $60^\circ$  el bilek ekstansiyonunda) buldular ve üst ekstremiten eklemelerinin kombiné hareketlerinde el bileğindeki total ekskursyon miktarını  $35.4$  mm olarak bildirdiler.

KTS tanısı almış olgularda yaptığımız ölçüm çalışmaları, el bilek seviyesinde median sinirin ekskursyonunu  $29.96 \pm 5.07$  mm olduğunu göstermiştir. Bu el bilek seviyesinde median sinir ekskursyonun literatürde kadavra çalışmaları sonrası bildirilenden çok daha fazla olduğunu ortaya koymuştur. Bu farklılığın nedeni ; kadavra üst ekstremitesine yaptırılan pasif ve aktif hareketlerin, canlılardaki sinir kinematiğini tam olarak yansıtmasından ve ölçüm tekniklerindeki farklılıklardan kaynaklanabileceğini düşündürmüştür.

Bunun yanısıra Mc. Lellan ve Swash'ın (2), canlılarda yaptıkları çalışmada, el bileğinde median sinir içine yerleştirilen elektrodun hareket ölçümleri cildin üstünden yapılmış, elektrodun 1 mm çekilmesi ile hareketinin bozulmasını sinir çevresindeki dokuların harekete katılmaması olarak yorumlamışlardır. Ancak, cilt ve cilt altı

dokuların kendi hareketliliği ve bu dokuların elektrodun hareketini engellemesi dikkate alınmamıştır; bu açıdan ölçümlerin güvenirliliği şüphelidir.

Periferik sinir onarımlarında 25-30 mm'ye kadar ulaşan sinir defektlerinin, kan dolasımını engellemeden yeterli elangasyonun sağlanabileceği ve primer veya erken sekonder sütürler ile giderilebileceği, bunun üzerindeki sinir defektlerinde ise sinir greftinin kullanılması gerektiği bildirilmiştir (17,18). Median sinirin  $29.96 \pm 5.07$  mm'lik bir ekskursiyon gösterdiği bulgumuz bu görüşü desteklemektedir.

Bazı araştırmacılar, adheziv nörit veya kompresyon nöropatilerinin patogenezinde, ekstremitenin olağan hareketleri sırasında oluşan sinir hareketi, gerilmesi gibi biyomekanik faktörlerin önemli olduğunu belirtmişlerdir. Bu gibi durumlarda, periferik sinirler çevre dokulara yapışktır ve eklemlerin normal hareketleri sırasında kayma gösteremezler; bu uyum eksikliğinin, adheziv nörit ve kompresyon nöropatilerinin patofizyolojisinde potansiyel bir makaslama travma ürettiği varsayılmıştır (3,6).

KTS'nun, ağırlıklı olarak median sinir tutulumunun olduğu kompresif bir nöropati olduğuna inanılır (18,23,24,25).

Ancak, bazı araştırmacılara göre, median sinir bir noktada veya bir segmentinde fiks olur yahut sıkışırsa fizyolojik kayması bozulabilir ve ekstremiten hareketleri sırasında sinirde gerilme ortaya çıkar. Median sinirdeki bu gerilmenin, karpal tünel sendromunun gelişiminde önemli bir patomekanik yardımcı faktör olabileceği ileri sürülmüştür. Nörolojik semptomların; buradaki basınç artışından değil, longitudinal ekskursiyonun kısıtlanması sonucu, sinir fonksiyonlarındaki sekonder değişiklikler nedeni ile ortaya çıkacağı varsayılmıştır (26).

TKL'in fleksör tendon ekskursiyonunda fleksör pulley rolü vardır (27). Kang ve ark. (28), kadavra çalışmalarında; el bileğinin  $30^\circ$ 'deki fleksiyon ve ekstansiyon hareketleri ile nötral pozisyonları sırasında, TKL kesilmesinin fleksör tendon ekskuryonunda %16'lık azalmaya neden olduğunu gösterdiler; el bileğinin fleksiyonunda %8, ekstansiyonunda %0.3, nötralde %5 azalma olduğunu ölçtüler. Ekskursiyonda azalmanın klinik olarak el bileği fleksiyonunda yakalama kuvvetinin azalmasıyla sonuçlanacağını bildirdiler. TKL'in kesilmesinin fleksör tendon ekskuryonu üzerine olan benzer bir etkisi Kline ve ark. (29), tarafından da bildirildi.

El bileği hareketleri sırasında, TKL kesilmesi sonrasında tendonlarda gelişen 'bow string' nedeni ile tendon eksursiyonunda % 20 azalma olduğunu saptadılar.

Kato ve ark.(30), endoskopik TKL gevşetilmesi uygulanan KTS'lu hastalarda yaptıkları MR çalışmasında, karpal kanal kesit alanında %15-33 oranında artış olduğunu gösterdiler.

Çalışmamızda, TKL kesilmesinin median sinir ekskursiyonu üzerindeki beklenen artış etkisi olmadığı, aksine azalttığı görüldü. Bunun nedeni, yukarıda belirtildiği gibi, TKL'in kesilmesi karpal kanal kesit alanını arttırmamasına ve kanal içi yapıların el bilek hareketleri sırasında bow string'e uğramasına bağlanabilir.

TKL gevşetilmesi sonrası ekskursiyon ölçümlerinde dorsifleksiyonda 0.35 mm, palmar fleksiyonda 1.15 mm, toplam 1.5 mm'lik azalma olmuştur. Bu da ameliyat sonrası total median sinir ekskursiyonunda %5 azalma, dorsifleksiyonda %4.2 azalma, palmar fleksiyonda %5.3 azalma demektir. Median sinirin el bileği seviyesindeki total ekskursyon miktarı, ameliyat öncesi ortalama  $29.96 \pm 5.07$  mm, ameliyat sonrası  $28.45 \pm 5.90$  mm olarak bulundu. Fakat, TKL'in kesilmesinin, median sinirin ekskursiyonuna olan etkisi istatistiksel olarak anlamlı olmamıştır ( $p=0.308$ ).

Turnike uygulanan grupta, dorsifleksiyonda 0.9 mm (%10.6) ve palmar fleksiyonda 1.0 mm (%4.8), olmak üzere toplam 1.9 mm (%6.4)'lik azalma görüldü.

Turnike uygulanmayan grupta ise, dorsifleksiyonda 0.18 mm (%2.2) artış ve palmar fleksiyonda 1.3 mm (%5.8) azalma olmak üzere toplam 1.12 mm (%3.6)'lik azalma saptandı.

Kola turnike uygulamanın, median sinirin el bileği seviyesindeki ekskursyonunu azaltması beklenir. Turnikeli grupta ekskursiyondaki %6.4 azalmaya karşın, turnikesiz grupta % 3.6 bir azalma saptandı. Ayrıca, turnikesiz grupta elbileğinin dorsifleksiyonunda % 2.2 artış olmasına karşın turnikeli grupta dorsifleksiyonda % 10.6'lık azalma olduğu görüldü. Bu da kol seviyesinde uygulanan eksternal kompresyonun, sinir ekskursyonunu azalttığını göstermektedir. Ancak, aralarında istatistiksel olarak anlamlı bir fark bulunamamıştır ( $p=0.358$ ).

Karpal tünel sendromunun gelişiminde longitudinal kaymanın engellenmesinin önemli bir patomekanik yardımcı faktör olduğu görüşü bulgularımızla da desteklenmemiştir. Aksine, TKL'in gevşetilmesinden sonra median sinirin

ekskursiyonunda azalma saptanmıştır. Olguların hiç birinde median sinirde bir yapışıklık saptanmamıştır. Bu yüzden KTS'nun, daha çok kompresif bir nöropati olduğu görüşü ağırlık kazanmaktadır. Turnikenin etkisi sonucunda ekskursiyonun azalması bulgusu da kompresyon nöropatilerinde, longitudinal ekskursiyonu azalttığı görüşünü desteklemektedir. Bu nedenle çalışmamızda bulduğumuz ekskursiyon azalması TKL'in pulley etkisinin kalkmasına bağlı rölatif bir azalma olabilir.

Karpal tünel sendromunun endoskopik ameliyatları sonrası bildirilen komplikasyonları; TKL'in yetersiz gevşetilmesi, palmar kutanöz dalın kesilmesi, refleks sempatik distrofi, ağrılı hipertrofik skar dokusu, süperfisiyal ark yaralanması, fleksör tendon yaralanmaları ve 'bow string', median ve ulnar sinirde geçici paresteziler, yüzeyel enfeksiyonlardır (29,31,32,33).

Çalışmamızdaki komplikasyonlar, literatürde bildirilen komplikasyonlarla benzerlik göstermektedir ; 4 (%14.2) hastada 3. ve 4. parmaklarda hipoestezi ve bunların 2'sinde (%7.1) kesi yeri duyarlılığı, 2 (%7.1) hastada median sinire ait nöropaksi ve olmak üzere toplam 6 (%21.3) elde anormal duyarlılık saptandı; 2 (%7.1) elde ise RSD gelişti. Median sinire epinöral yerleştirilen iğneye bağlı komplikasyonların araştırmasında, her bir aksonun duyu ENG'sinin yapılması gereği ve bunun pratikte bir yarar sağlamaması nedeniyle, takiplerde klinik duyu muayenesi kullanıldı; aslında görülen nöropaksi komplikasyonları 3.-12. haftada kendiliğinden düzeldiler. RSD gelişen 2 hastanın yakınmaları medikal tedavi ile 2. ayın sonunda geçti.

Nöropaksi, TKL'in kesilmesi sırasında kullanılan teknik gereği; el bileğinin aşırı dorsifleksiyona getirilmesi sonucu sinirin kanülün altında sıkışması nedeniyle olabileceği gibi, primer olarak tuzak nöropatisine bağlı da gelişebileceği düşünüldü.

Hiçbir hastada kalıcı nörolojik komplikasyon saptanmadı.

Radyografi sayısı, hasta ve hekimin alacağı işin açısından sınırlı tutuldu; bu belki de, değişik ektremite pozisyonlarında median sinirin el bileği düzeyinde saptanabilecek diğer ekskursiyon miktarlarını belirleyemememizle sonuçlanmıştır.

## **SONUÇ**

- 1- Karpal tünel sendromu tanısı almış olgularda yaptığımız ölçümler, el bilek seviyesinde median sinir ekskursiyonunun, literatürde canlılarda ve kadavra çalışmaları sonrası bildirilenden çok daha fazla olduğunu göstermiştir. Median sinirin, el bilek seviyesindeki total ekskursiyon miktarı ameliyat öncesi ortalama  $29.96 \pm 5.07$  mm, ameliyat sonrası  $28.45 \pm 5.90$  mm olarak bulunmuştur. Bu bulgu periferik sinir onarımlarında, 25-30 mm'ye kadar ulaşan sinir defektlerinin, kan dolaşımını engellemeden yeterli elongasyonun sağlanabileceği ve primer veya erken sekonder sütürler ile giderileceği yönündeki klinik uygulamalar ile uyumludur.
- 2- Transvers karpal ligamentin kesilmesi, karpal tünel sendromlu hastalarda, median sinirin ekskursyonunu istatistiksel olarak etkilememiştir. Bu bulgu karpal tünel sendromundaki nöropatiden, median sinirdeki ekskursyonun kısıtlanmasının değil, kompresyonun sorumlu olduğu görüşünü desteklemektedir.
- 3- Kompresyonun sinir ekskursyonunu azaltması beklenir. Oysa kola uygulanan turnikenin, el bilek hareketleri sırasında sinir ekskursyonunda istatistiksel olarak etkisi olmamıştır. Bu bulguda el bilek seviyesinde median sinirin lokal elongasyona uğradığını gösterir. Ayrıca dışardan uygulanan kompresyonun sinir ekskursyonuna bir etkisi yoktur.

## ÖZET

01 Ocak - 30 Temmuz 1998 tarihleri arasında Akdeniz Üniversitesi Tıp Fakültesi Hastanesi Ortopedi ve Travmatoloji Anabilim, El Cerrahisi Bilim Dalı'nda, karpal tunnel sendromu tanısı konulan 22 olgunun 28 elinde, median sinirin in vivo longitudinal ekskursiyon ölçümleri yapıldı.

21'i (%96.4) kadın, 1'i (%3.6) erkek, ortalama yaşı 49 ( 34 - 68) olan olgulara, Menon teknigi ile endoskopik karpal tunnel gevşetilmesi uygulandı. El bileği 20 ° ve 65° dorsifleksiyonda ve 60° palmar fleksiyonda, intraoperatif çekilen radyografiler üzerinde yapılan ölçümlerle, median sinirin, el bileği düzeyinde transvers karpal ligamentin kesilmesinden önce ve sonrasında ki hareketliliği değerlendirildi.

Median sinirin el bileği seviyesindeki total ekskursyonu ortalama ameliyat öncesi  $29.96 \pm 5.07$  mm, ameliyat sonrası  $28.45 \pm 5.90$  mm olarak bulundu.

Ameliyat öncesi ve sonrası median sinir ekskursyon değerleri arasında istatistiksel anlamlı farklılık olmadığı tespit edildi ( $p=0.308$ ).

## KAYNAKLAR

1. Lundborg, G., Dahlin, L.B. : Anatomy, function, and pathophysiology of peripheral nerves and nerve compression. *Hand Clin.*, 12(2): 185-193, 1996.
2. McLellan, D.L., Swash, M. : Longitudinal sliding of the median nerve during movements of the upper limb. *J. Neurol. Neurosurg. Psychiatry.*, 39(6) : 566-570, 1976.
3. Wilgis, E.F., Murphy, R. : The significance of longitudinal excursion in peripheral nerves. *Hand Clin.*, 2(4) : 761-766, 1986.
4. Milesi, H., Zöch, G., Rath, T. : The gliding apparatus of peripheral nerve and its significance. *Ann. Hand Surg.*, 9(2) : 87-97, 1990.
5. Szabo, R.M., Bay, B.K., Sharkey, N.A., Gaut, C., Davis, C.: Median nerve displacement through the carpal canal. *J. Hand Surg.*, 19A (6) : 901-916, 1994.
6. Wright, T.W., Glowczewskie, F., Wheeler, D., Miller, G., Cowin, D. : Excursion and strain of the median nerve. *J. Bone Joint Surg.*, 78A (12) : 1897-1903, 1996.
7. Terzis, J.K., Smith, K.L. : Composition of the peripheral nerve. In: *The Peripheral Nerve Structure, function and Reconstruction*, first edition :1-37, Raven Press, Virginia: 1990.
8. Sunderland, S. : The anatomy and physiology of nerve injury. *Muscle Nerve.*, 13 : 771-784, 1990.
9. Lundborg, G., Dahlin, L.B. : Pathophysiology of nerve compression. *Hand Clin.*, 8(2): 215-226, 1992.
10. Milesi, H., Zöch, G., Reihnsner, R. : Mechanical properties of peripheral nerves. *Clinical Orthop Related Res.*, 314 : 76-83, 1995.

11. Kwan, M.K., Wall, E.J., Massie, J., Garfin, S. : Strain, stress and stretch of peripheral nerve. *Acta Orthop. Scand.*, 63 (3) : 267-272, 1992.
12. Lundborg, G., Rydevik, B. : Effects of stretching the tibial nerve of the rabbit. A preliminary study of the intraneuronal circulation and barrier function of the perineurium. *J. Bone Joint Surg.*, 55B (2) : 390-401, 1973.
13. Rydevik, B., Lundborg, G., Bagge, U. : Effect of graded compression on intraneuronal blood flow, an in vivo study on rabbit tibial nerve. *J. Hand Surg.*, 6: 3-12, 1981.
14. Ogata, K., Naito, M. : Blood flow of peripheral nerve effects of dissection, stretching and compression. *J. Hand Surg.*, 11B : 10-14, 1986.
15. Clark, W.L., Trumble, T.E., Swiontkowski, M.F., Tencer, A.F. : Nerve tension and blood flow in a rat model of immediate and delayed repair. *J. Hand Surg.*, 17A : 677-687, 1992.
16. Wall, E.J., Massie, J.B., Kwan, M.K., Rydevik, B.L., Meyers, R.R., Garfin, S.R. : Experimental stretch neuropathy. Changes in nerve conduction under tension. *J. Bone Joint Surg.*, 74B (1) : 126-129, 1992.
17. Haas, H.G. : A method to reduce tension at the suture site. *J. Reconstr. Microsurg.*, 12 (5) : 317-20, 1996.
18. Szabo, R.M. : Entrapment and compression neuropathies. In: Green's operative hand surgery. Ed: Green, D.P., Hotchkiss, R.N., Pederson, W.C., Fourth Edition : 1406-1410, Livingstone, Philadelphia, 1998.
19. Middleton, W.D., Kneeland, J.B., Cates, J.D. : MR Imaging of the carpal tunnel: normal anatomy and preliminary findings in the carpal tunnel syndrome. *Am J Roentgenol.*, 148: 307-316, 1987.

20. Zeiss, J., Skie, M., Ebraheim, N., Jackson, W.T. : Anatomic relations between the median nerve and flexor tendons in the carpal tunnel: MR evaluation in normal volunteers. Am. J. Roentgenol., 153 : 533-536, 1989.
21. Skie, M., Zeiss, J., Ebraheim, N., Jackson, W.T. : Carpal tunnel changes and median nerve compression during wrist flexion and extension seen by magnetic resonance imaging. J. Hand Surg., 15A : 934-939, 1990.
22. Menon, J. : Endoscopic carpal tunnel release: preliminary report. Arthroscopy, 10 (1) : 31-38, 1994.
23. Szabo, R.M., Madison, M. : Carpal tunnel syndrome. Orthop. Clin. North Amer., 23 (1) : 103-109, 1992.
24. Gelberman, R.H., Hergenroeder, P.T., Hargens, A.R., Lundborg, G.N., Akeson, W.H. : The carpal tunnel syndrome. A study of carpal canal pressures. J. Bone Joint Surg., 63A : 380-383, 1981.
25. Lundborg, G., Gelberman, R.H., Minteer-Convery, M., Lee, Y.F., Hargens, A.R. : Median nerve compression in the carpal tunnel functional response to experimentally induced controlled pressure. J. Hand Surg., 7: 252-259, 1982.
26. Sole, J.V., Alvarez, R., Nunez, M. : Limited longitudinal sliding of the median nerve in patients with carpal tunnel syndrome. Muscle Nerve., 18 : 761-767, 1995.
27. Netscher, D., Mosharraf, A., Lee, M. : Transverse carpal ligament: Its effect on flexor tendon excursion, morphologic changes of the carpal canal, and on pinch and grip strengths after open carpal tunnel release. Plast. Reconstr. Surg., 100 : 636-642, 1997.

28. Kang, H.J., Lee, S.G., Phillips, C.S., Mass, D.P. : Biomechanical changes of cadaveric finger flexion: the effect of wrist position and of the transverse carpal ligament and palmar and forearm fasciae. *J. Hand Surg.*, 21A (6) : 963-968, 1996.
29. Kline, S.C., Moore, J.R. : The transverse carpal ligament An important component of the digital flexor pulley system. *J. Bone Joint Surg.*, 74A (10) : 1478-1485, 1992.
30. Kato, T., Kuroshima, N., Okutsu, I., Ninomiya, S. : Effects of endoscopic release of the transverse carpal ligament on carpal canal volume. *J. Hand Surg.*, 19A (3) : 416-419, 1994.
31. Jimenez, D.F., Gibbs, S.R., Clapper, A.T. : Endoscopic treatment of carpal unnel syndrome : a critical review. *J. Neurosurg.*, 88 (5) : 817-826, 1998.
32. Kuschner, S.H., Brien, W.W., Johnson, D., Gellman, H. : Complications associated with carpal tunnel release. *Orthop Rev.*, 20 : 345-352, 1991.
33. Tüzüner, S., Aydin, A.T., Altunel, E. : Endoskopik teknikle karpal kanalın gevsetilmesi: Cerrahi deneyim ve komplikasyonların değerlendirilmesi. *Acta Orthop. Trav. Turc.*, 29 (5) : 442-445, 1995.

AKDENİZ ÜNİVERSİTESİ  
Merkez Kütüphanesi